Изменения термодинамических характеристик в тропо - стратосфере в период 1979 – 2016 гг.

Переведенцев Ю.П.

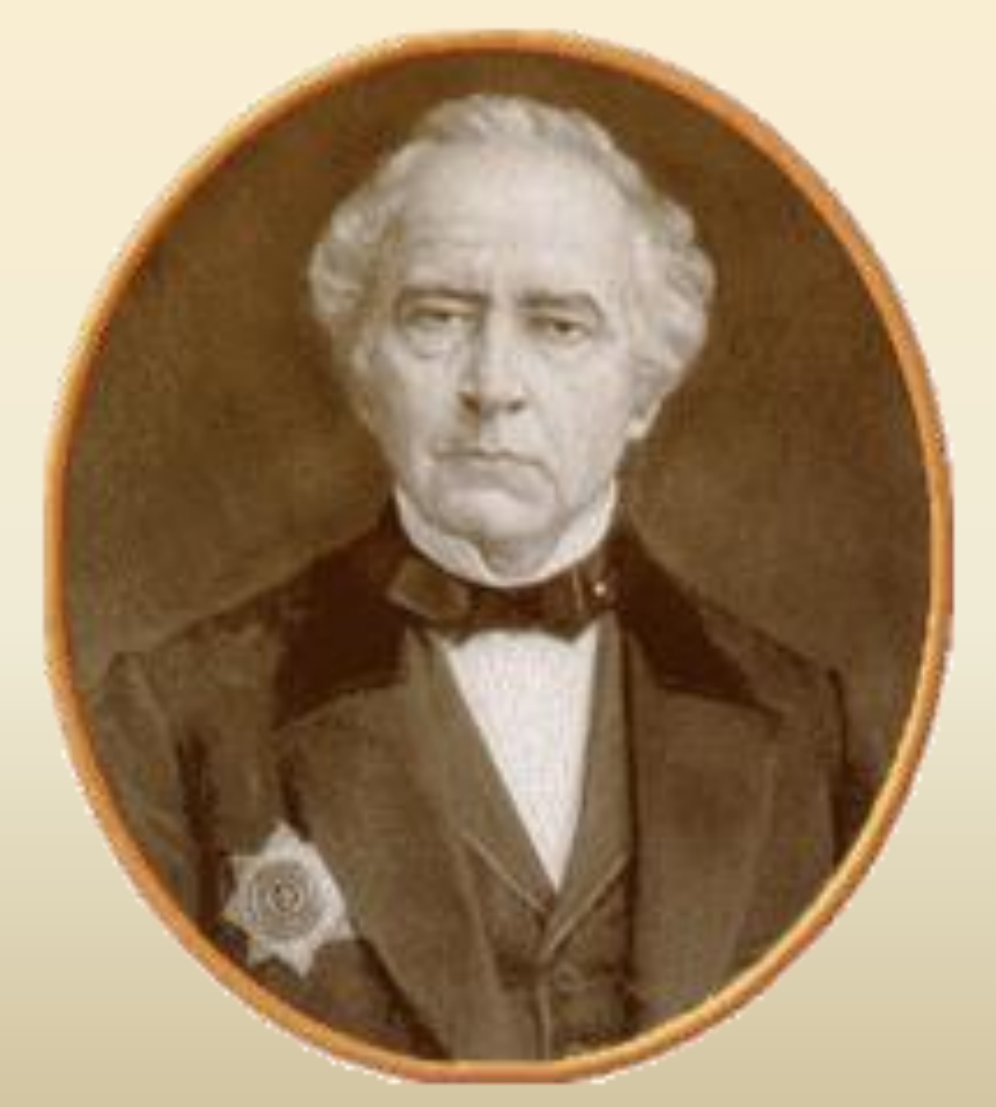
Казанский (Приволжский) федеральный университет Метеорология, как наука, в Казанском университете возникла на основе первых метеорологических наблюдений, и длительное время развивалась как одно из направлений экспериментальной физики.

С 1810 г. руководство метеорологическими наблюдениями было возложено на профессора теоретической и опытной физики Ф.К. Броннера, приглашенного в университет из Швейцарии.

Ф.К. БРОННЕР



С приездом в 1824 г. в Казань из Петербурга профессора физики и химии А.Я. Купфера, метеорологические наблюдения были дополнены магнитными.



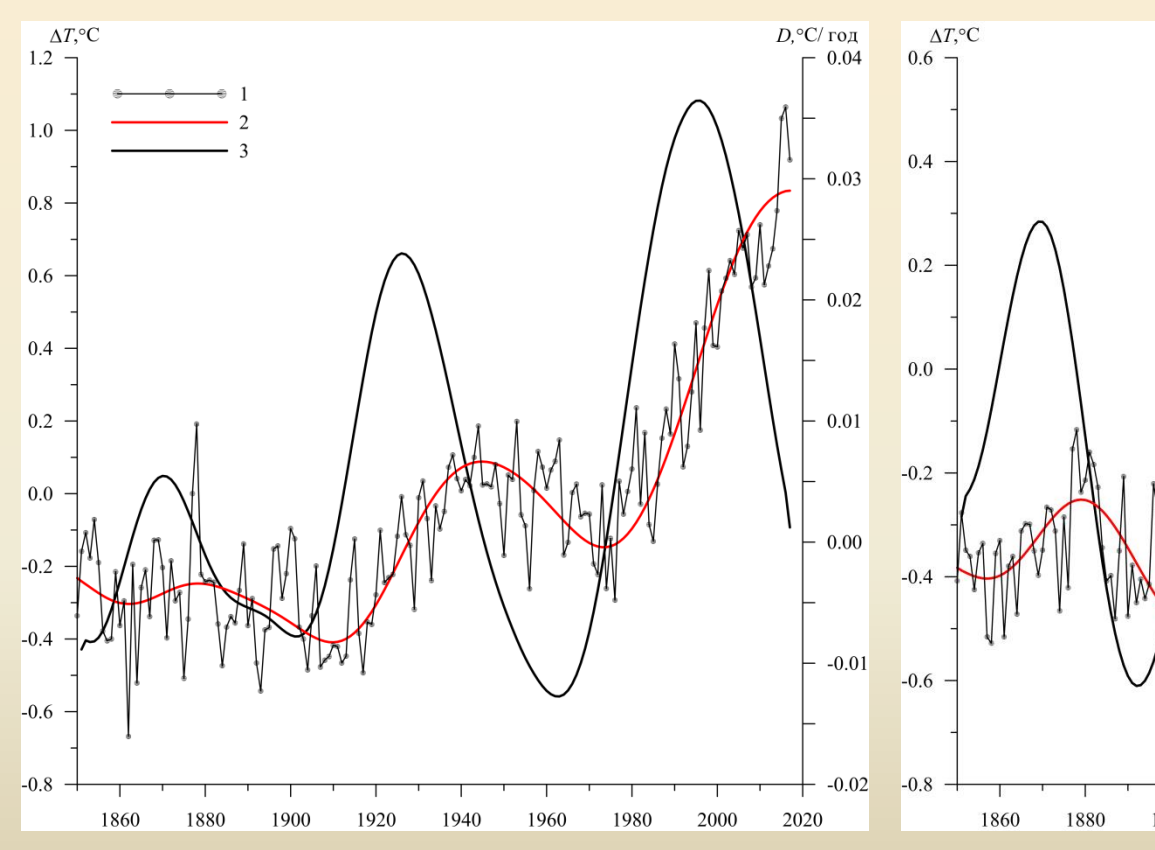
Во второй половине XIX столетия метеорологическими и магнитными наблюдениями активно занимались

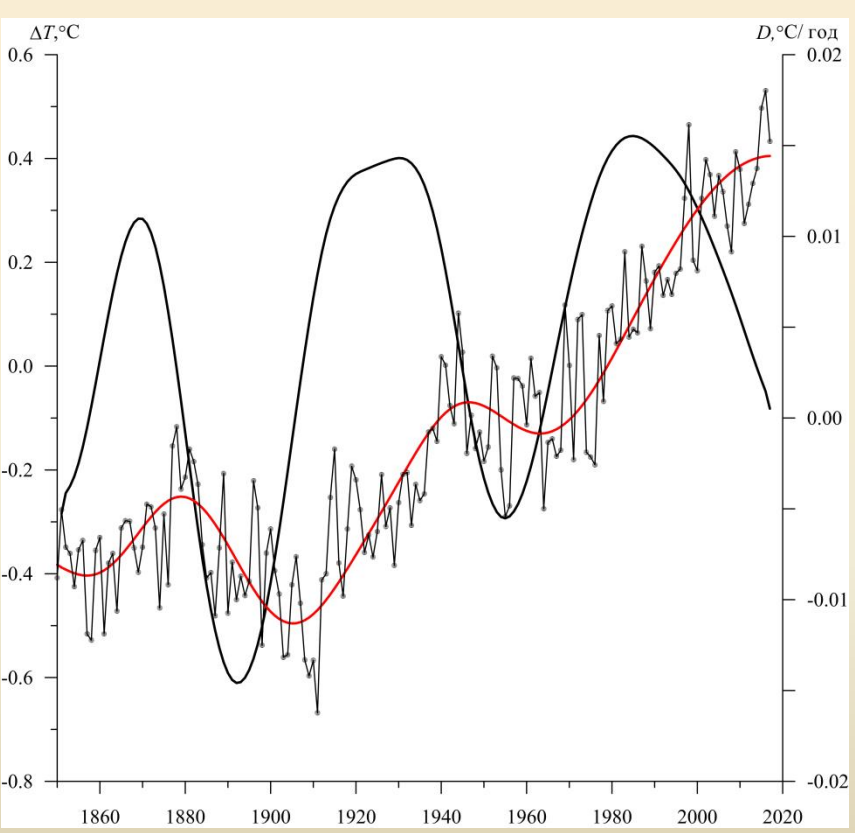
И.А. Больцани (1855-1876), Р.А. Колли (1876-1886), Н.П. Слугинов (1886-1894), Д.А. Гольдгаммер (1894-1897).

В 1923 г. на физико-математическом факультете университета по инициативе проф. В.А. Ульянина открывается кафедра геофизики для подготовки метеорологов, гидрологов и геомагнитологов.

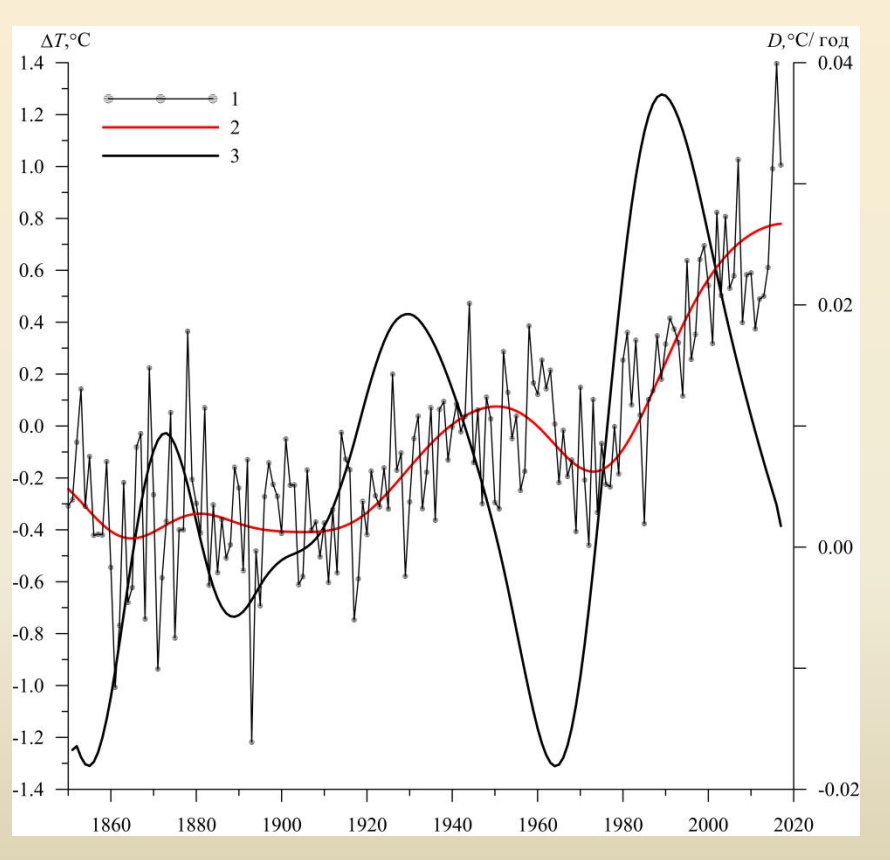


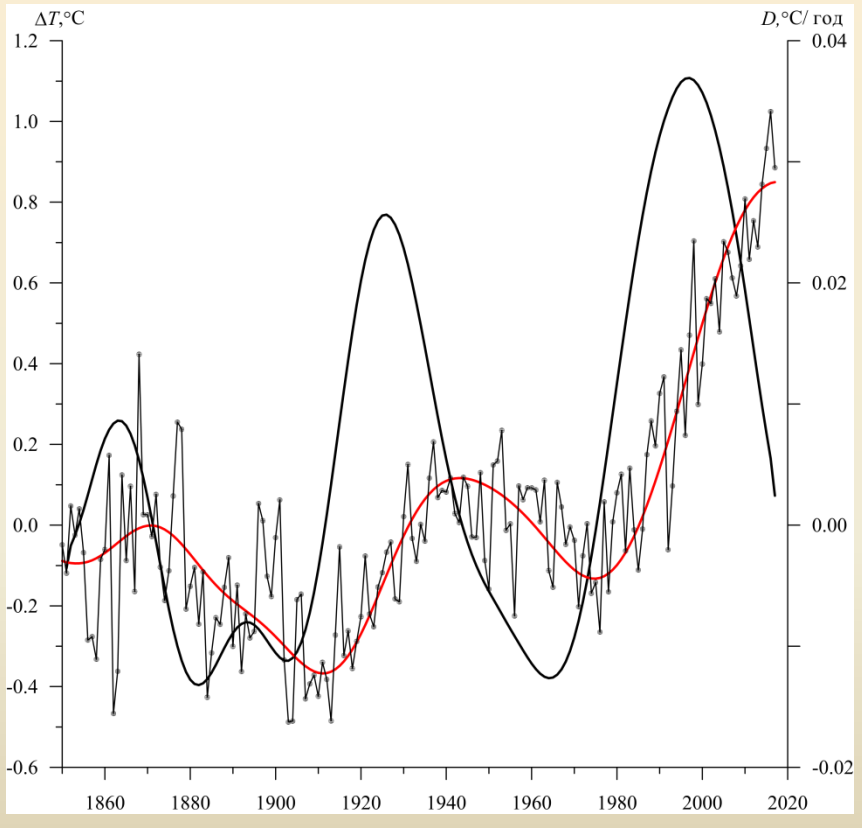
Многолетний ход (1850–2017 гг.) аномалий (1961–1990 гг.) средней годовой температуры воздуха Северного (слева) и Южного (справа) полушария 1 – исходный ряд, 2 – НЧК с периодом более 30 лет, 3 – первые разности НЧК.



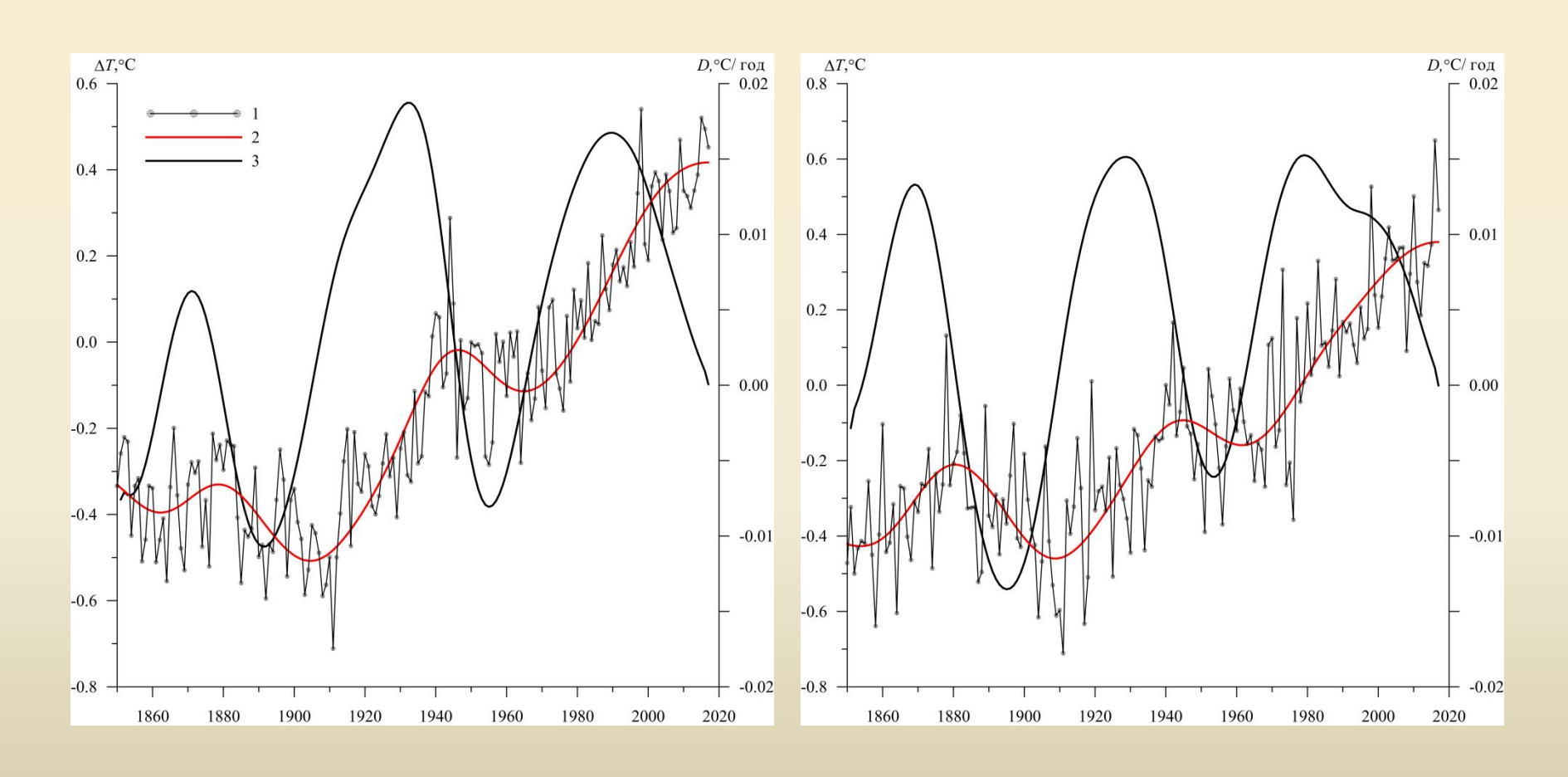


Многолетний ход (1850–2017 гг.) аномалий (1961–1990 гг.) средней зимней (слева) и летней (справа) температуры воздуха Северного полушария 1 – исходный ряд, 2 – НЧК с периодом более 30 лет, 3 – первые разности НЧК.

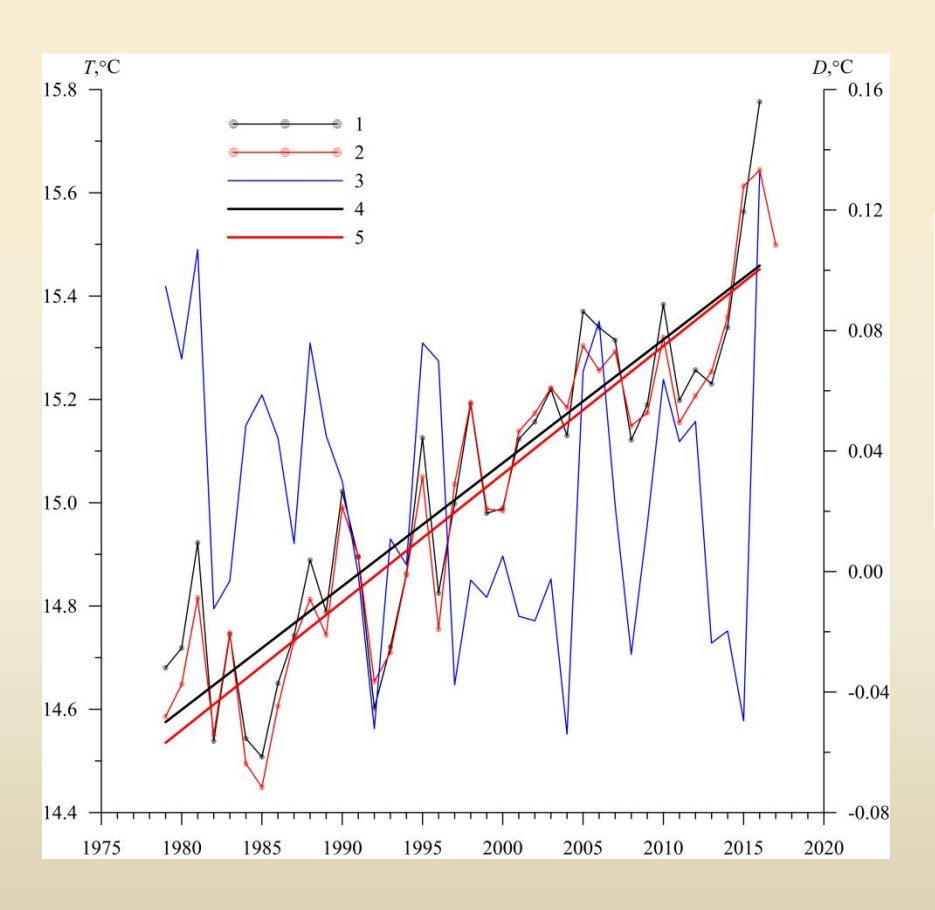




Многолетний ход (1850–2017 гг.) аномалий (1961–1990 гг.) средней зимней (слева) и летней (справа) температуры воздуха Южного полушария 1 – исходный ряд, 2 – НЧК с периодом более 30 лет, 3 – первые разности НЧК.

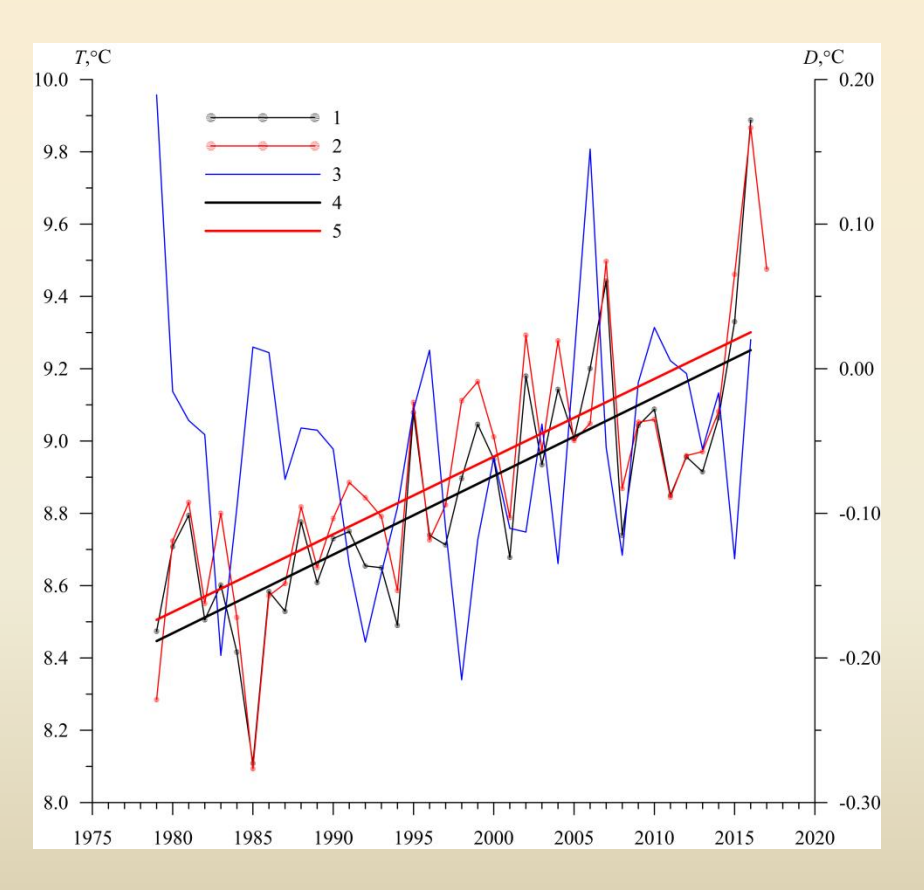


Многолетний ход (1979—2017 гг.) средней годовой приповерхностной температуры воздуха Северного полушария по данным ERA-Interim и CRU 1 — ряд ERA, 2 — ряд CRU, 3 — разности ERA-CRU, 4 — тренд ERA, 5 — тренд CRU.



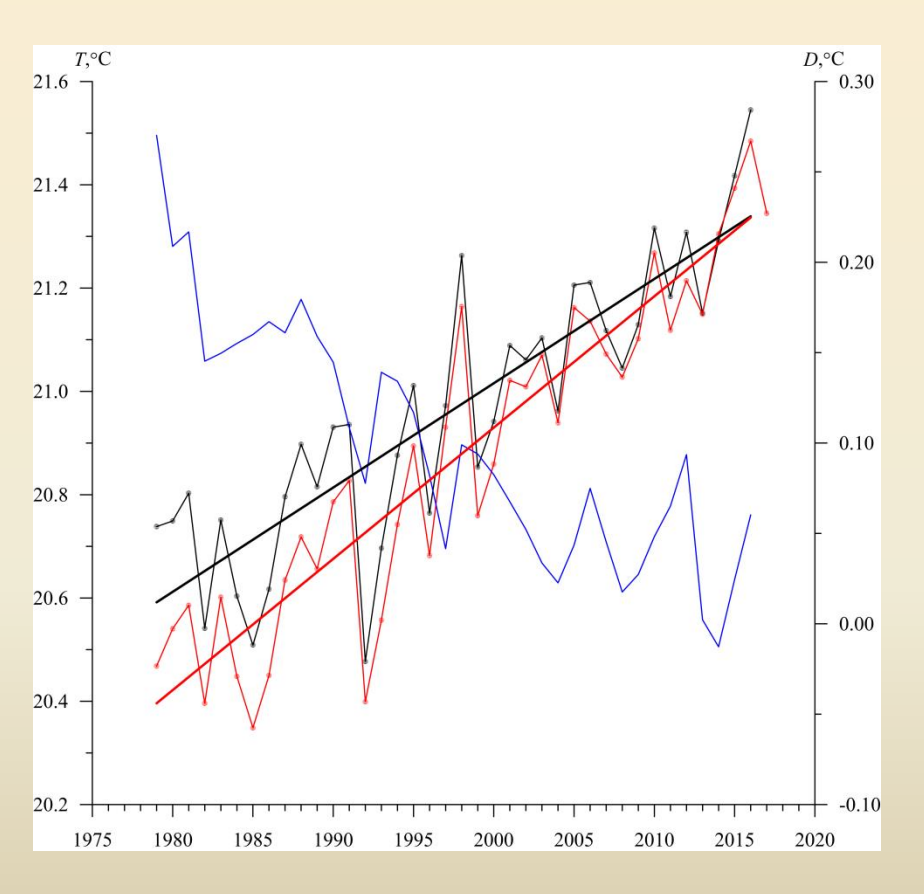
	ERA-Interim	CRU
T _{av} , °C	15,02	14,99
А, °С/10 лет	0,24	0,25
R^2 , %	78	84

Многолетний ход (1979—2017 гг.) средней зимней приповерхностной температуры воздуха Северного полушария по данным ERA-Interim и CRU 1 — ряд ERA, 2 — ряд CRU, 3 — разности ERA-CRU, 4 — тренд ERA, 5 — тренд CRU.



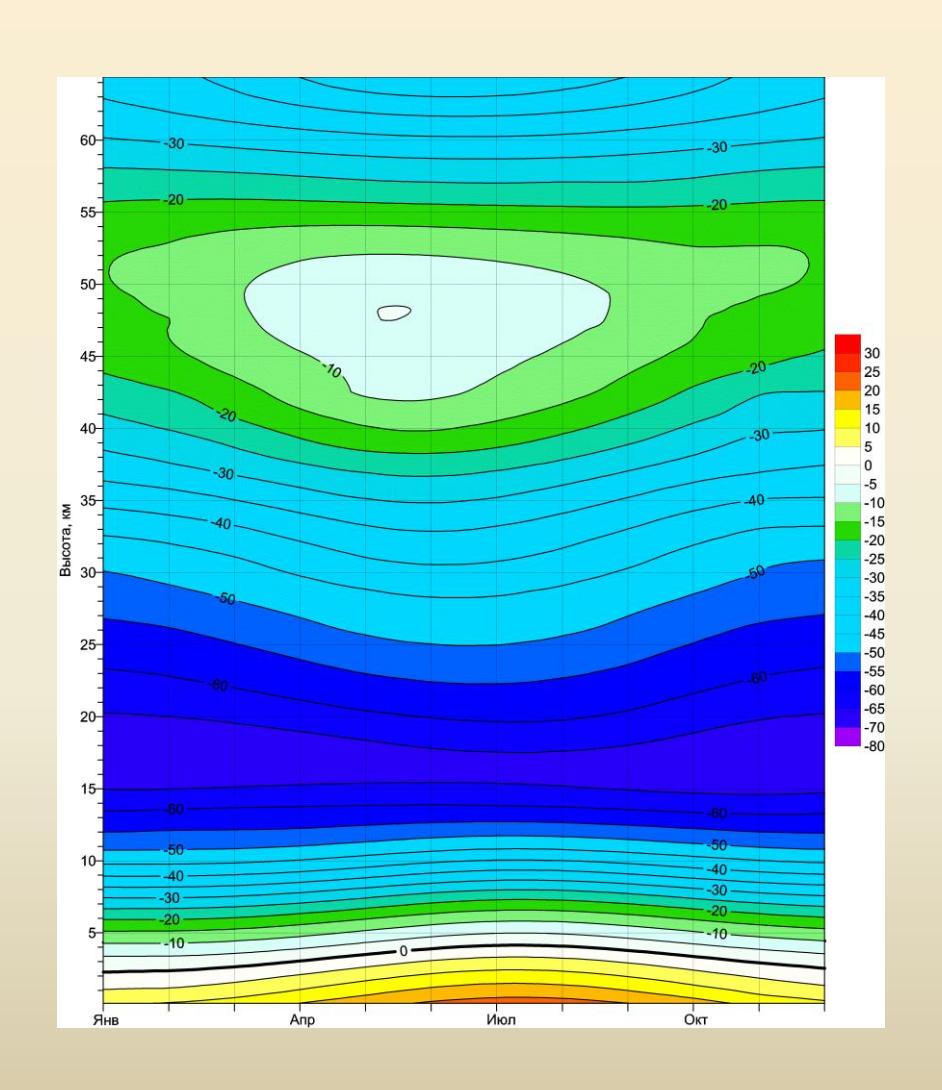
	ERA-Interim	CRU
T _{av} , °C	8,85	8,90
А, °С/10 лет	0,22	0,22
R^2 , %	56	56

Многолетний ход (1979–2017 гг.) средней летней приповерхностной температуры воздуха Северного полушария по данным ERA-Interim и CRU 1 – ряд ERA, 2 – ряд CRU, 3 – разности ERA-CRU, 4 –тренд ERA, 5 –тренд CRU.

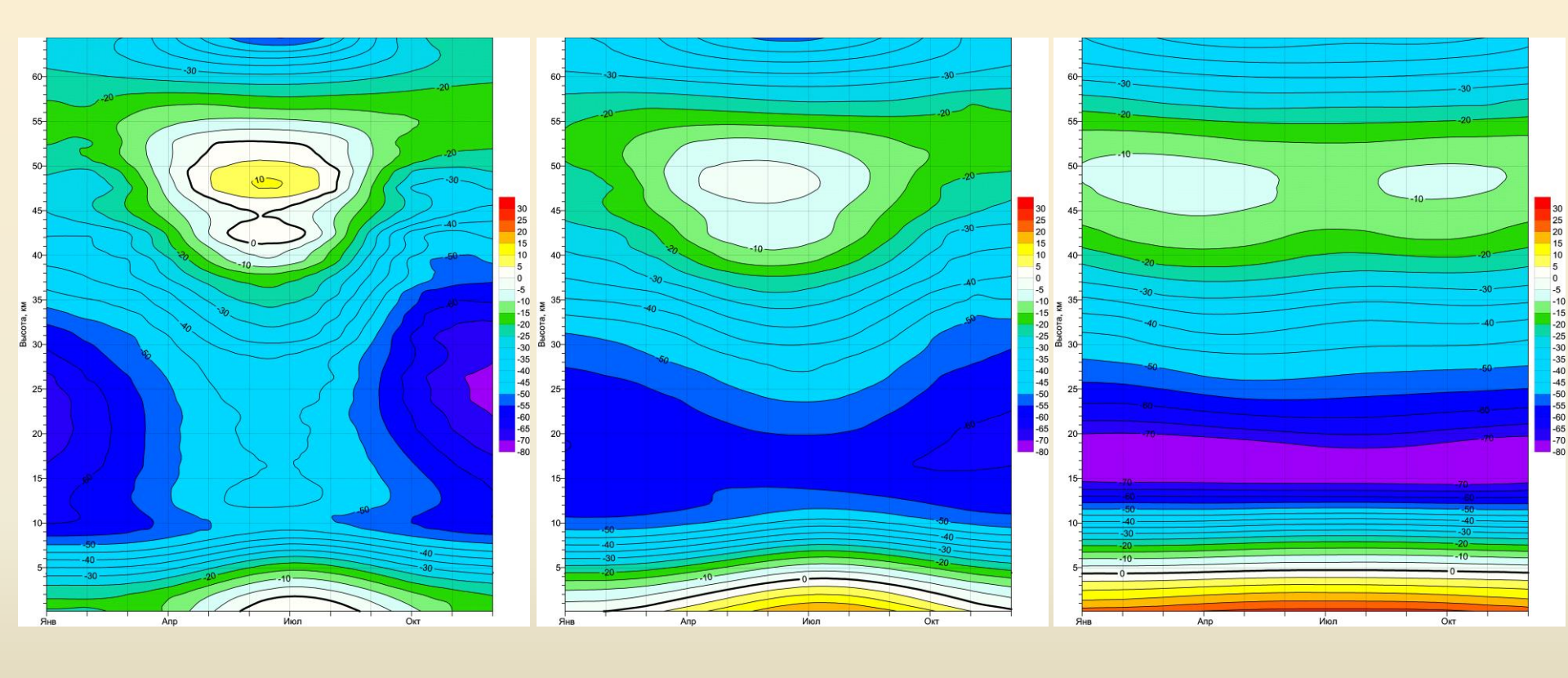


	ERA-Interim	CRU
T _{av} , °C	20,97	20,87
А, °С/10 лет	0,20	0,25
R^2 , %	74	85

Вертикальный разрез среднего за 1979 – 2016 гг. годового хода температуры (°C) Северного полушария в слое 0,1 – 65 км.

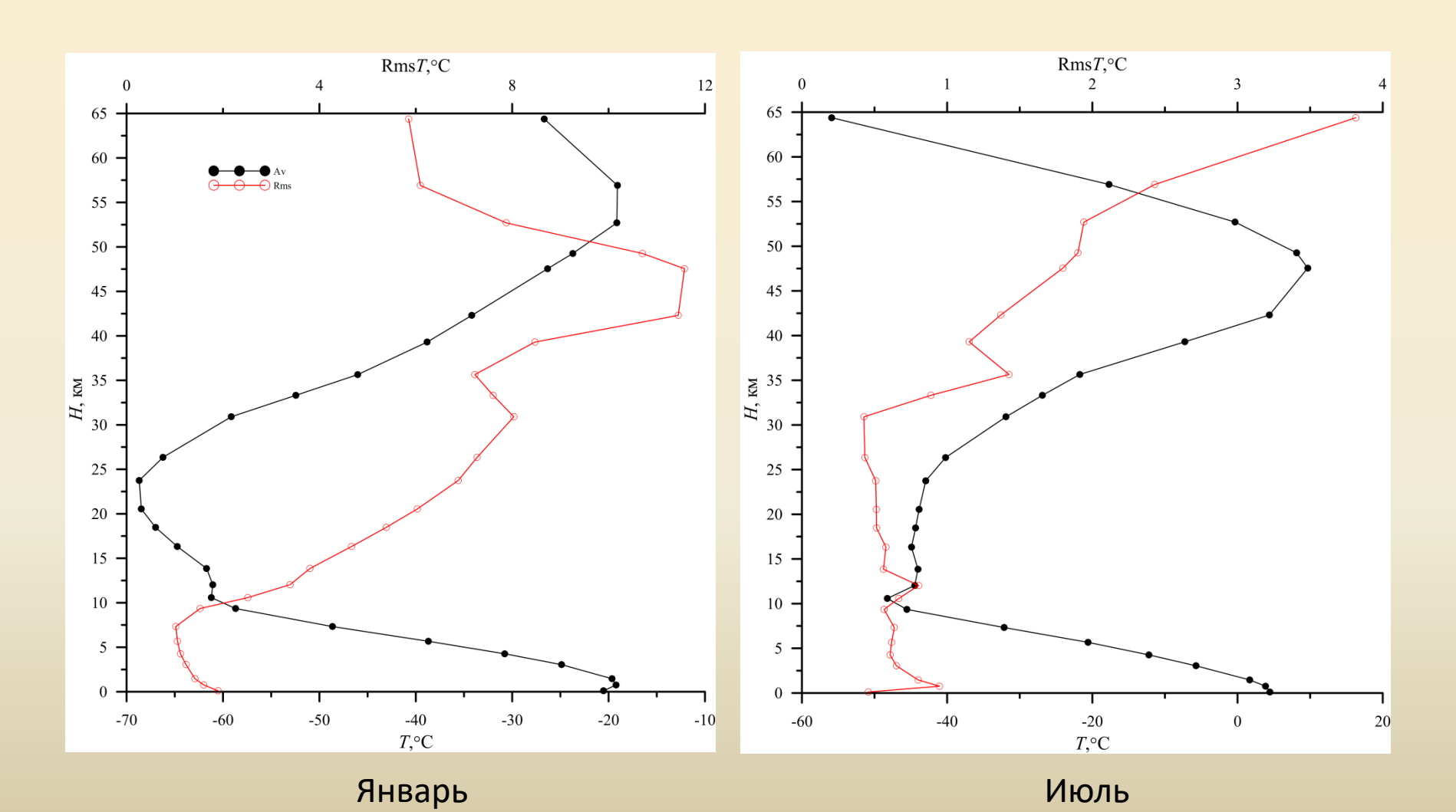


Вертикальный разрез среднего за 1979 — 2016 гг. годового хода температуры (°C) широтных зон Северного полушария в слое 0,1 — 65 км.

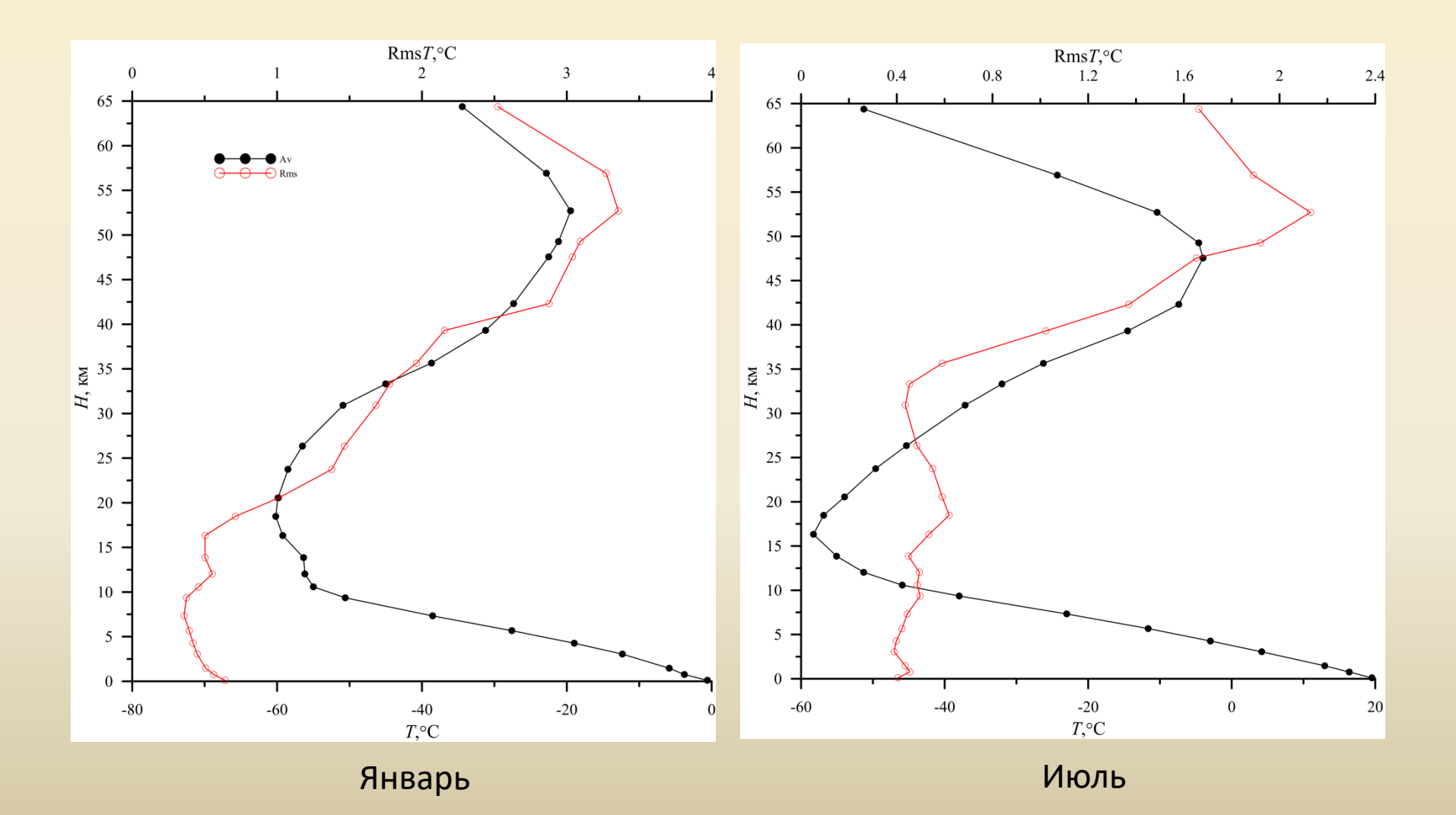


Полярная Умеренная Тропическая

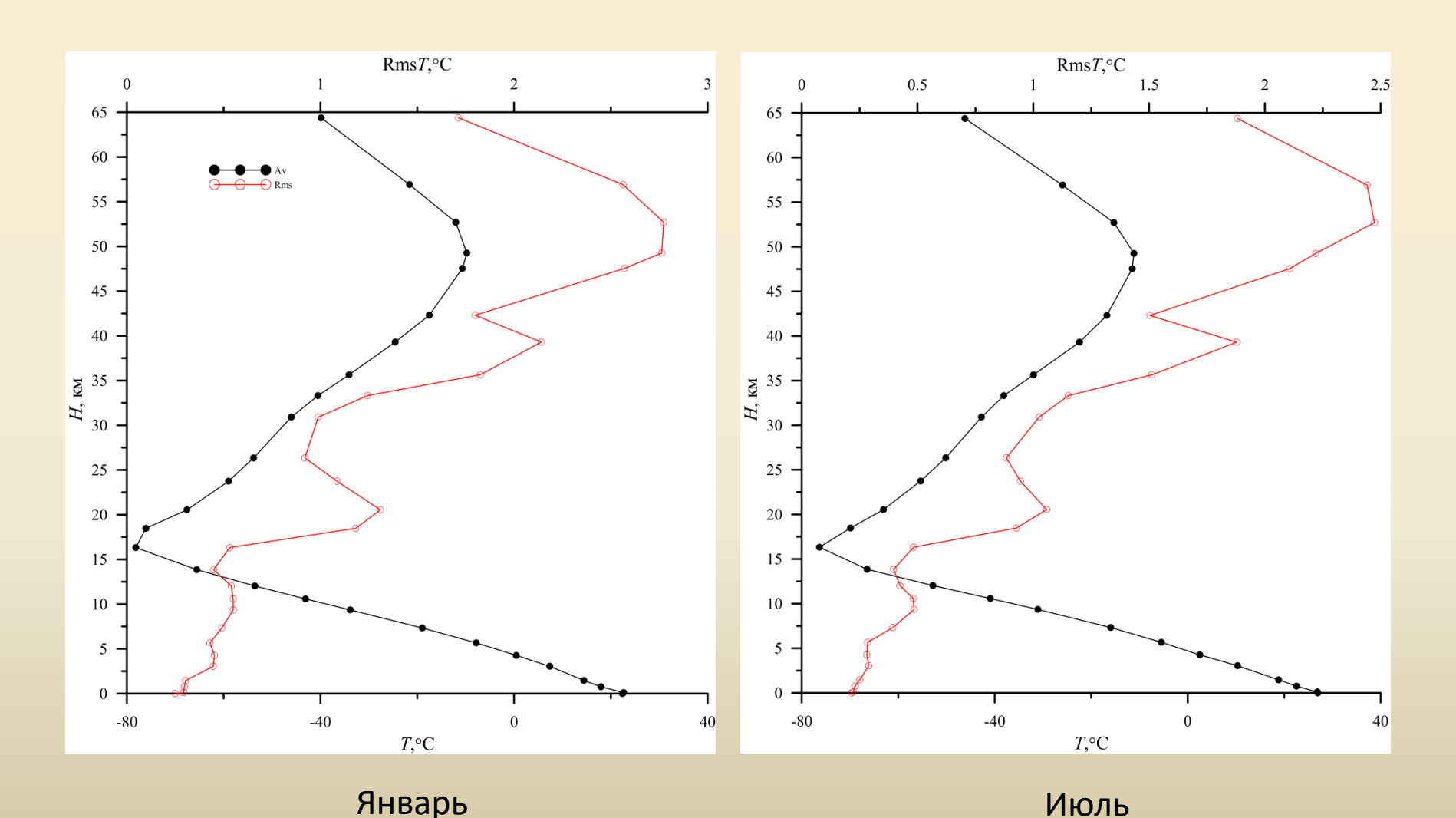
Вертикальные профили средних величин и средних квадратических отклонений за период (1979-2016 гг.) температур воздуха осредненных по полярной зоне Северного полушария в январе и июле.



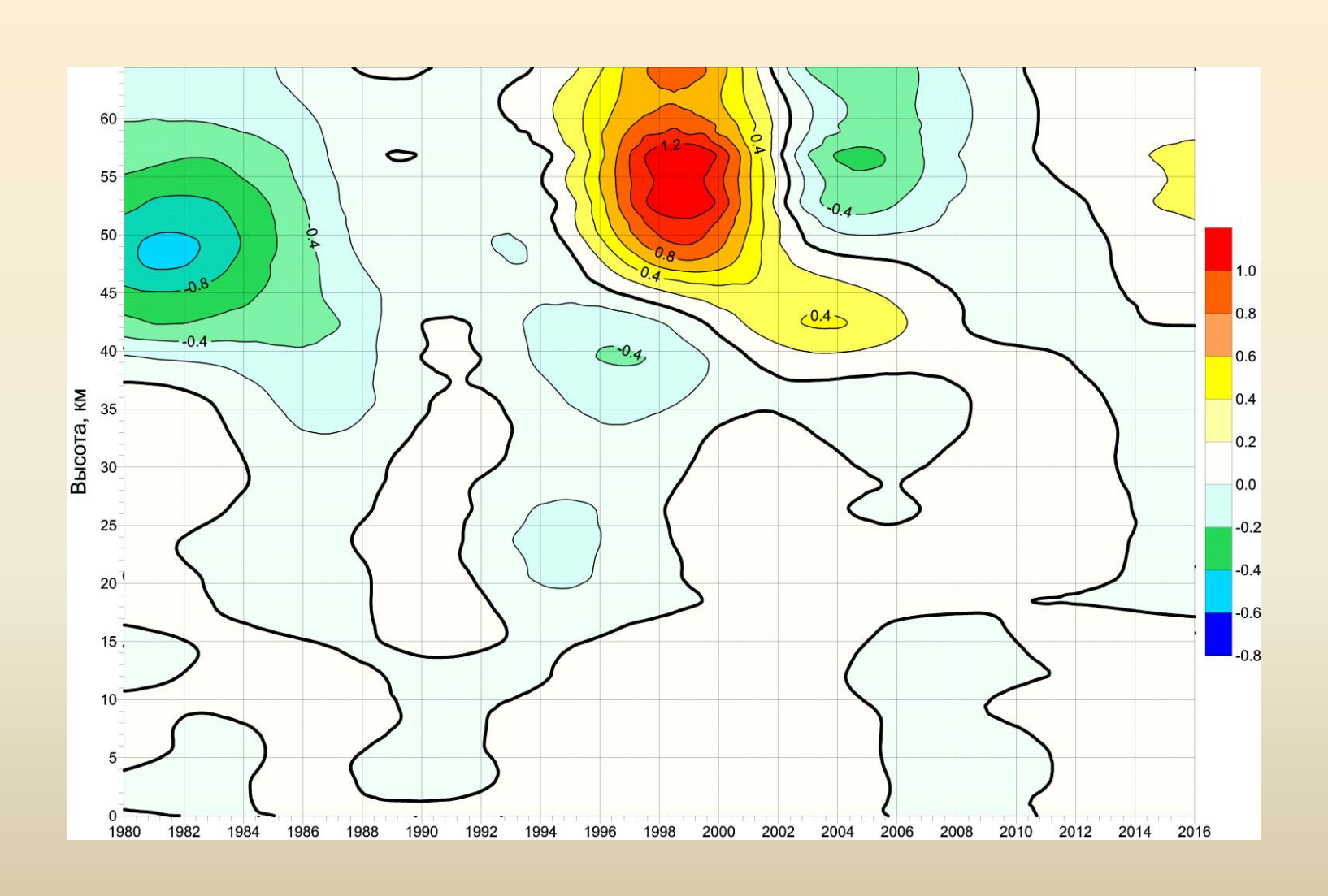
Вертикальные профили средних величин и средних квадратических отклонений за период (1979-2016 гг.) температур воздуха осредненных по умеренной зоне Северного полушария в январе и июле.



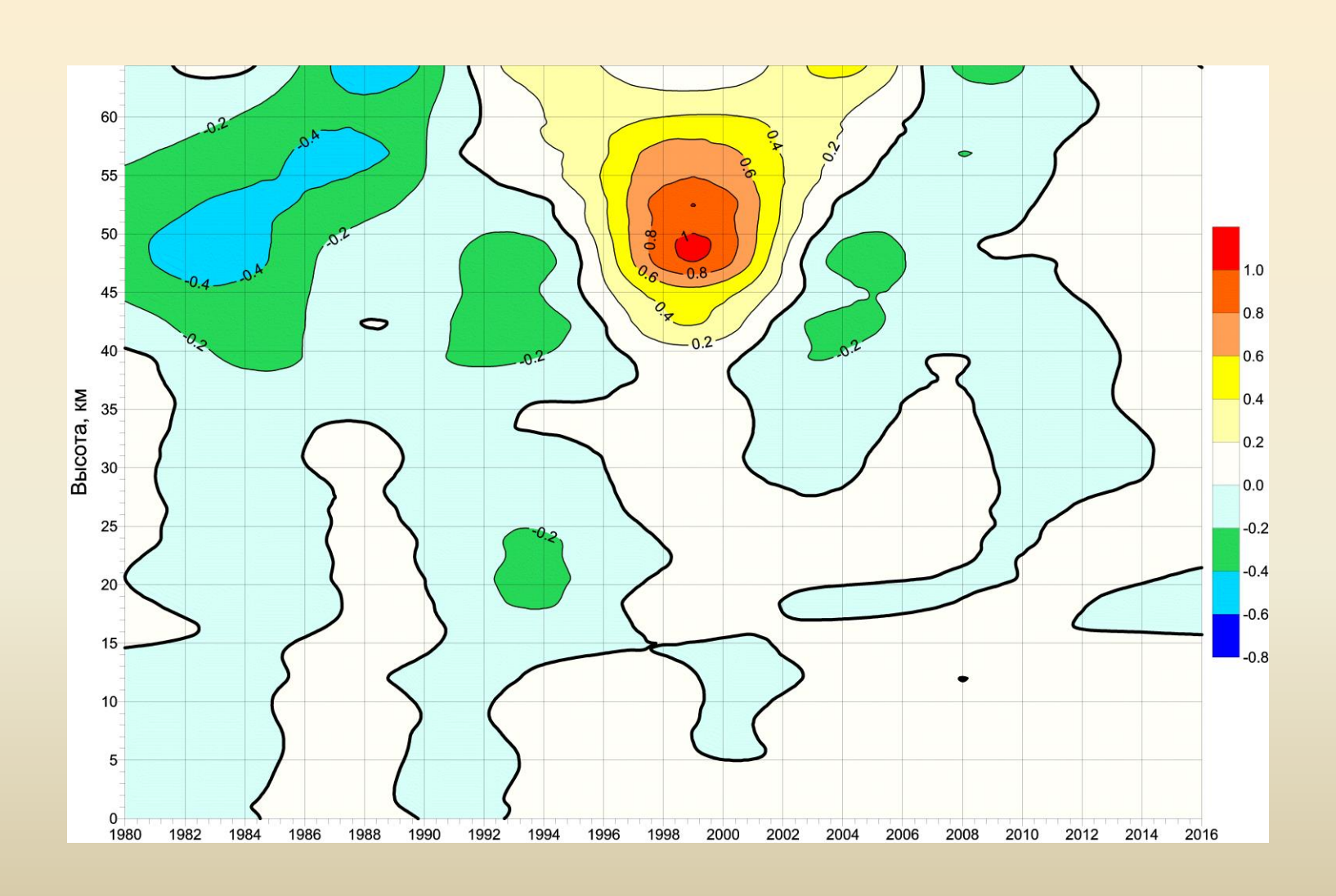
Вертикальные профили средних величин и средних квадратических отклонений за период (1979-2016 гг.) температур воздуха осредненных по тропической зоне Северного полушария в январе и июле.



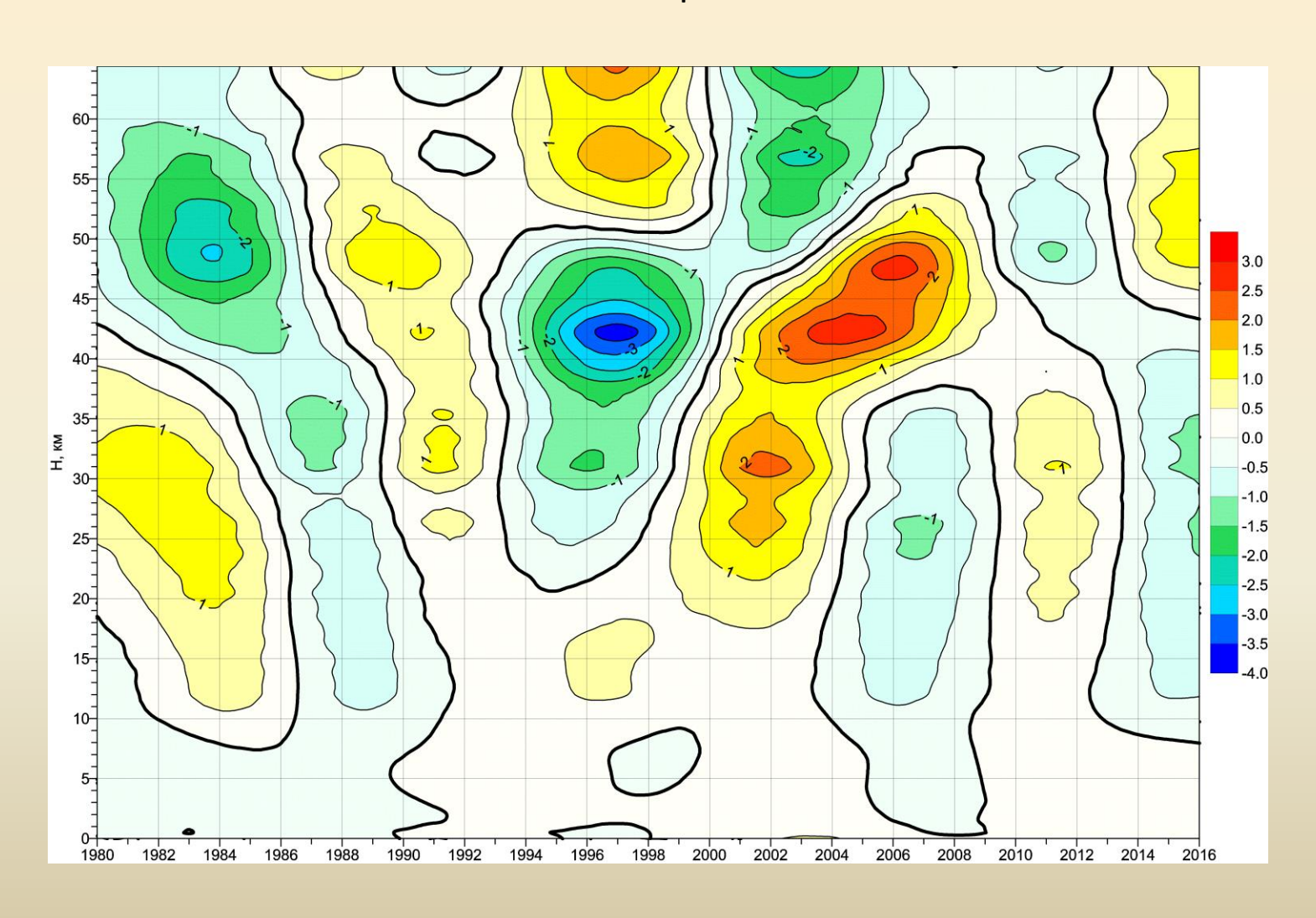
Вертикальный разрез многолетнего хода первых разностей НЧК с периодом более 10 лет температуры воздуха (°С/год) Северного полушария. Январь



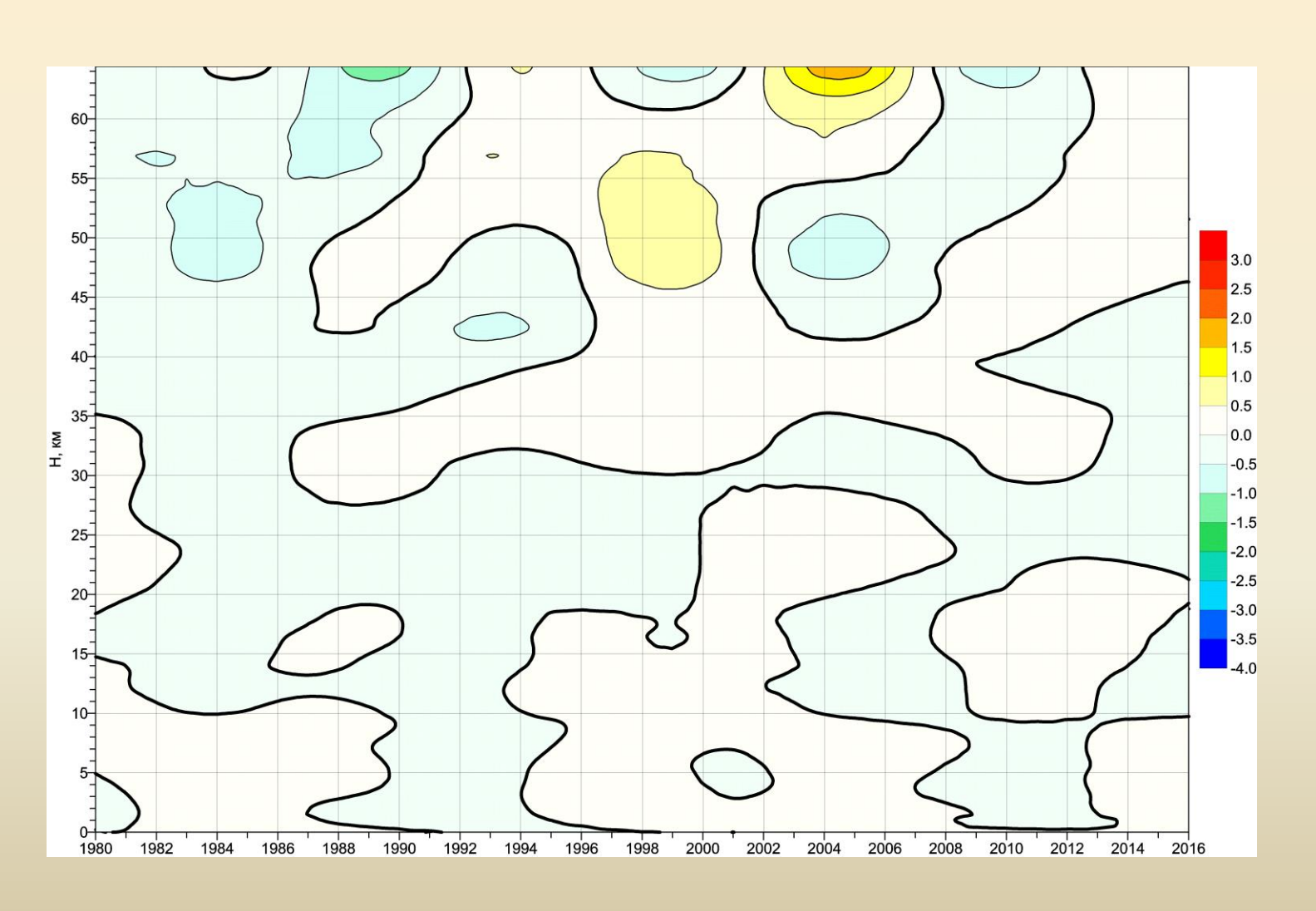
Вертикальный разрез многолетнего хода первых разностей НЧК с периодом более 10 лет температуры воздуха (°С/год) Северного полушария. Июль



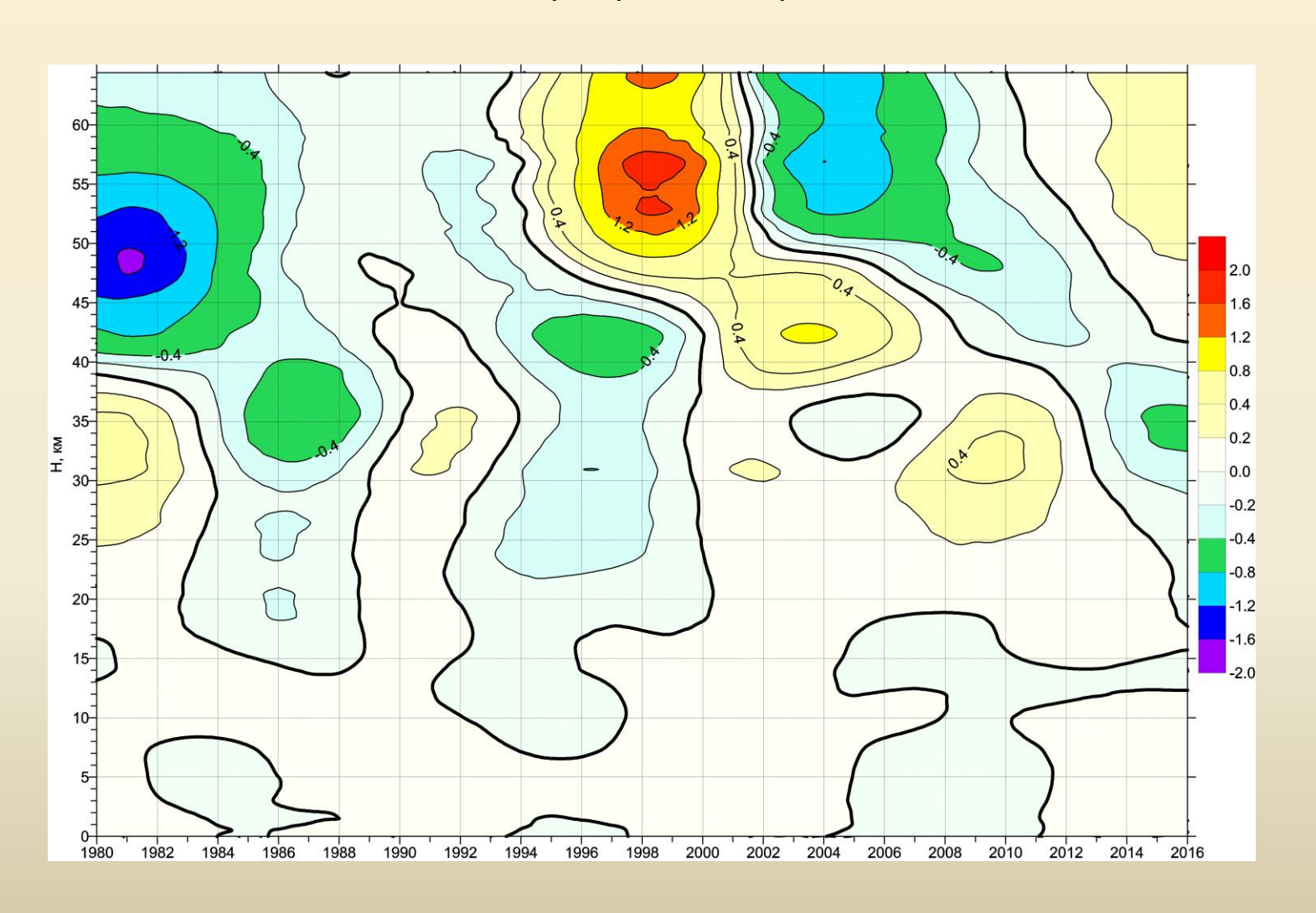
Вертикальный разрез многолетнего хода первых разностей НЧК с периодом более 10 лет температуры воздуха (°С/год) полярной зоны Северного полушария. Январь



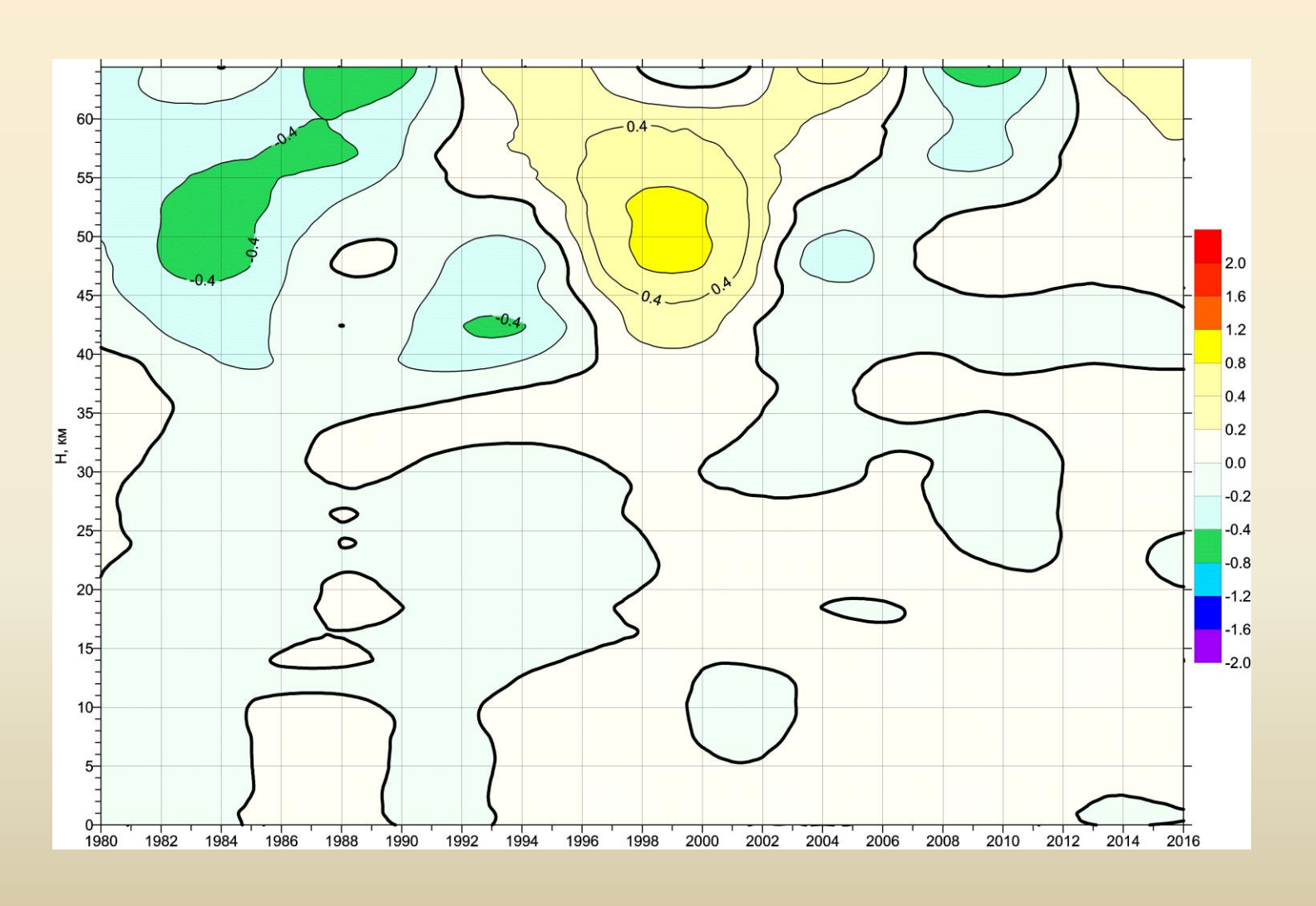
Вертикальный разрез многолетнего хода первых разностей НЧК с периодом более 10 лет температуры воздуха (°С/год) полярной зоны Северного полушария. Июль



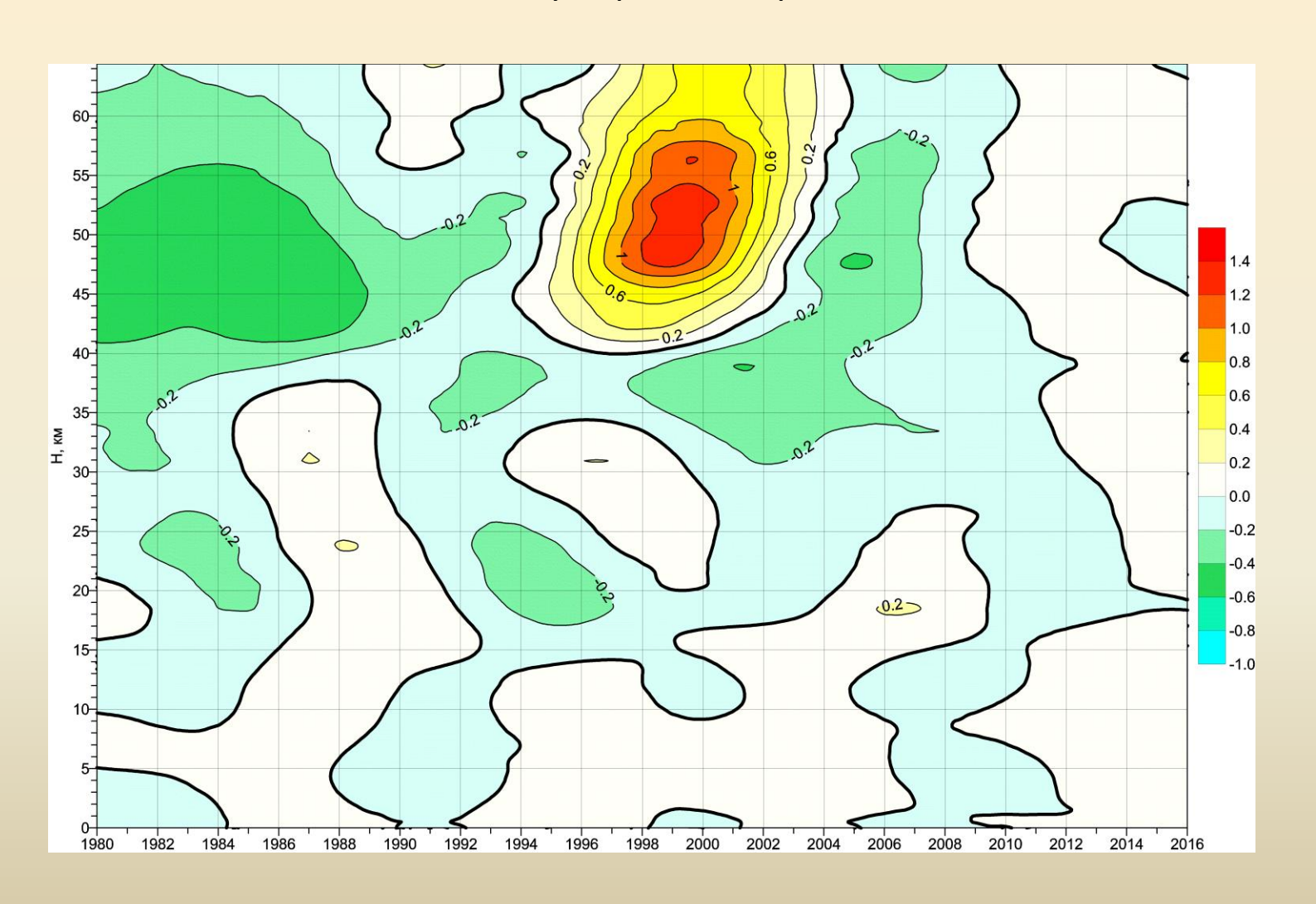
Вертикальный разрез многолетнего хода первых разностей НЧК с периодом более 10 лет температуры воздуха (°С/год) умеренной зоны Северного полушария. Январь



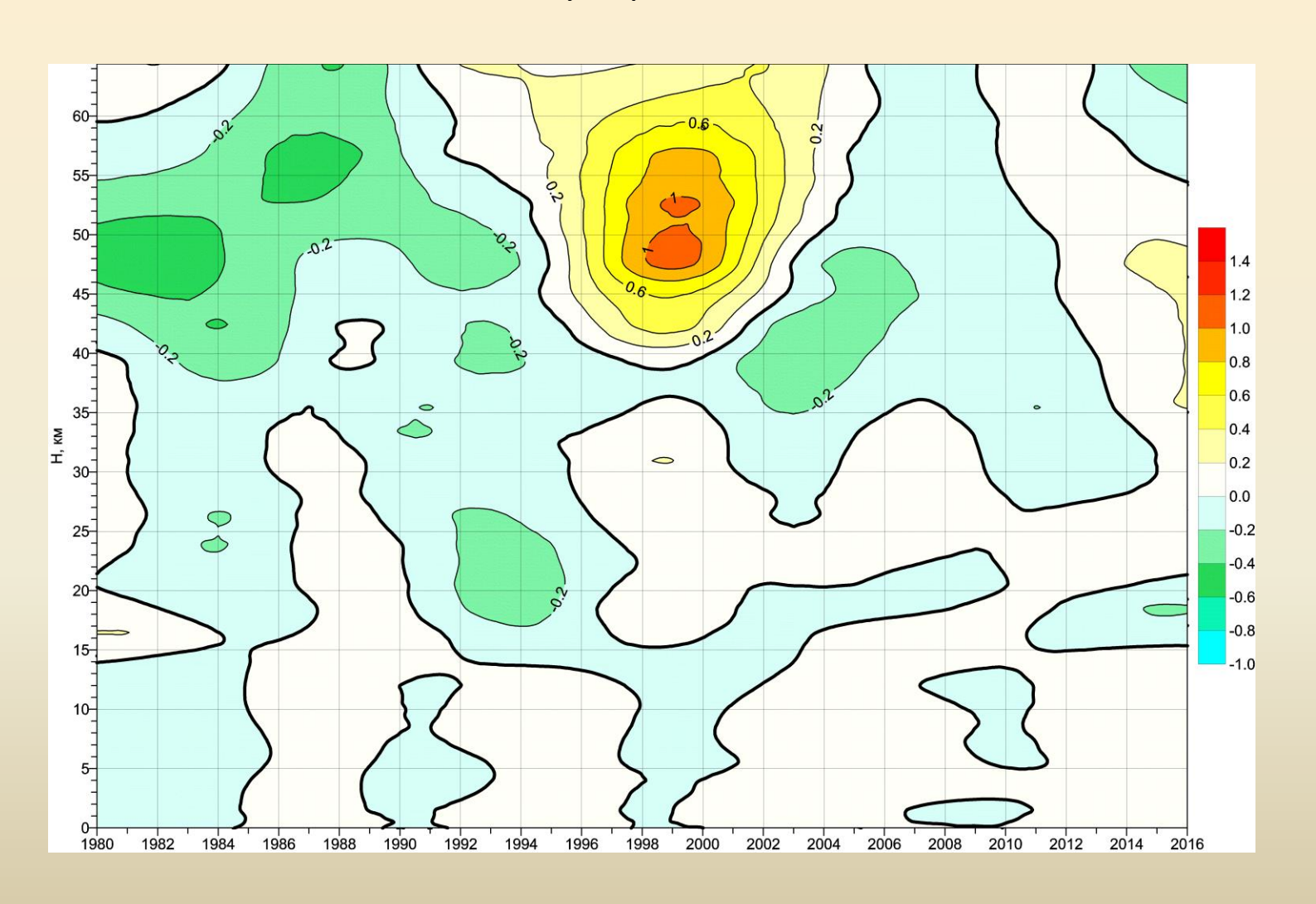
Вертикальный разрез многолетнего хода первых разностей НЧК с периодом более 10 лет температуры воздуха (°С/год) умеренной зоны Северного полушария. Июль



Вертикальный разрез многолетнего хода первых разностей НЧК с периодом более 10 лет температуры воздуха (°С/год) тропической зоны Северного полушария. Январь

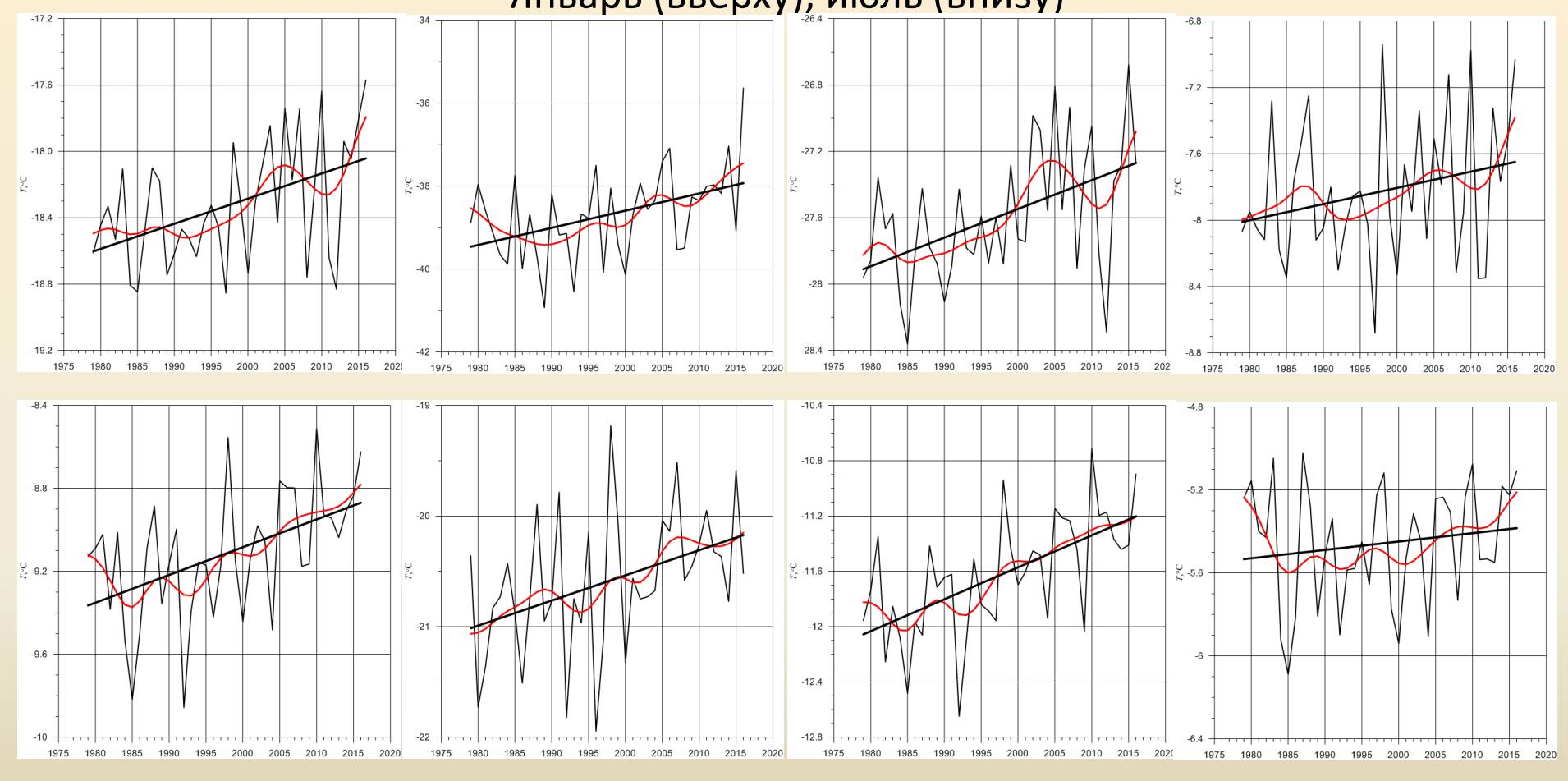


Вертикальный разрез многолетнего хода первых разностей НЧК с периодом более 10 лет температуры воздуха (°С/год) тропической зоны Северного полушария. Июль



Многолетний ход температуры воздуха (°C) на уровне 500 гПа. Исходный ряд, линейный тренд, НЧК с периодом более 10 лет

Исходный ряд, линейный тренд, НЧК с периодом более 10 лея Январь (вверху), июль (внизу)



Северное полушарие

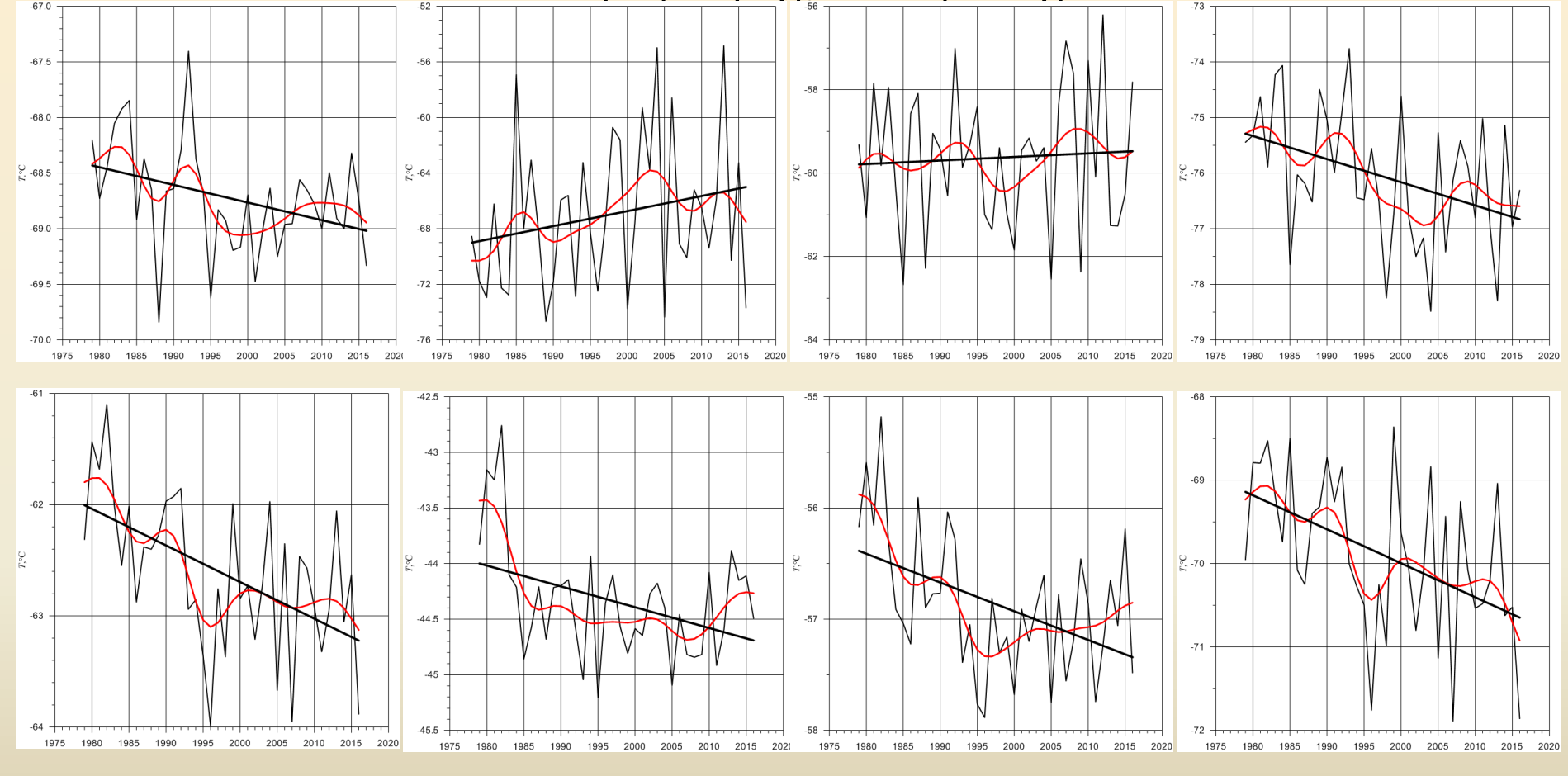
Полярная зона

Умеренная зона

Тропическая зона

Многолетний ход температуры воздуха (°C) на уровне 70 гПа.

Исходный ряд, линейный тренд, НЧК с периодом более 10 лет Январь (вверху), июль (внизу)



Северное полушарие

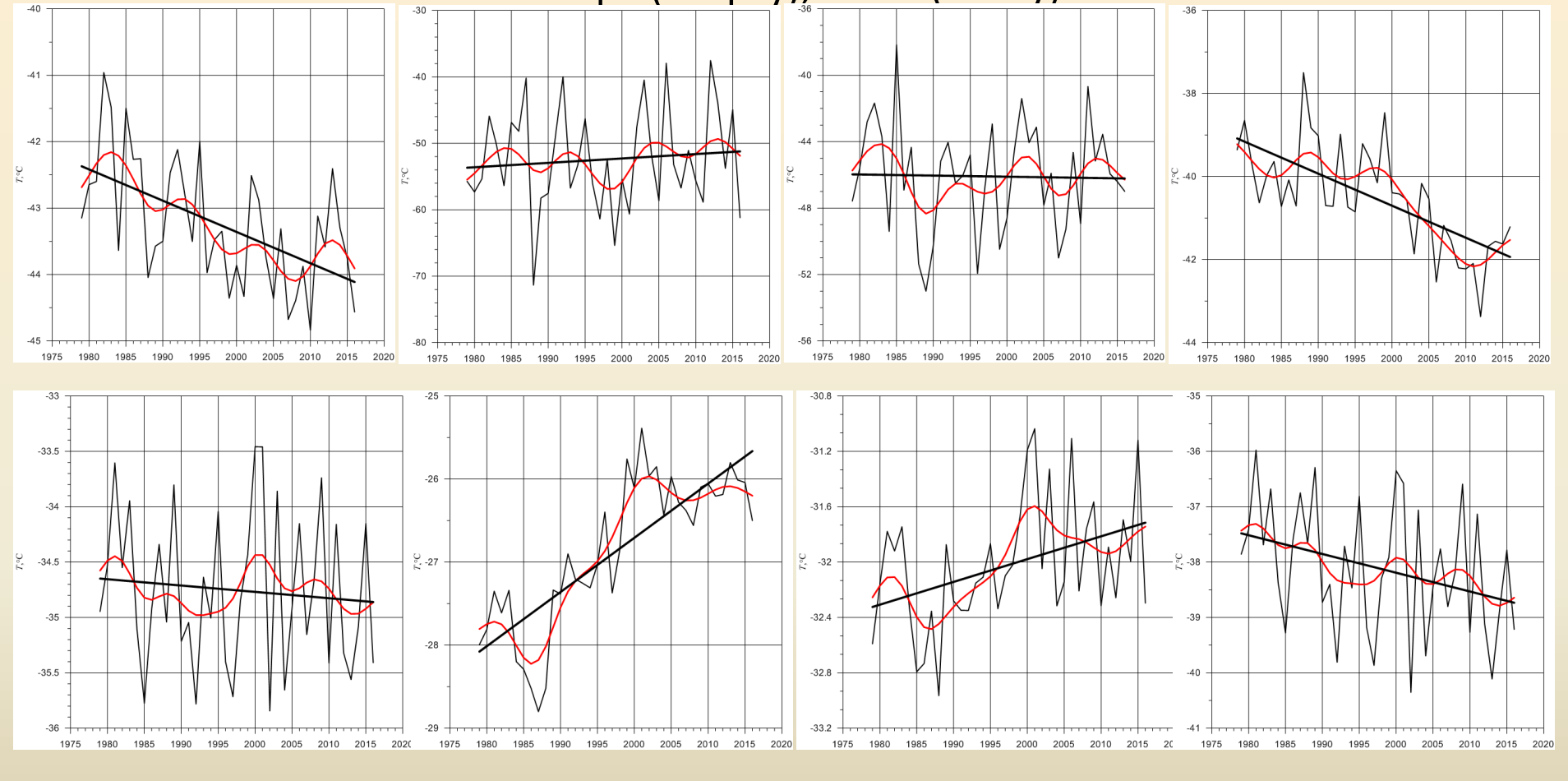
Полярная зона

Умеренная зона

Тропическая зона

Многолетний ход температуры воздуха (°C) на уровне 7 гПа.

Исходный ряд, линейный тренд, НЧК с периодом более 10 лет Январь (вверху), июль (внизу)



Северное полушарие

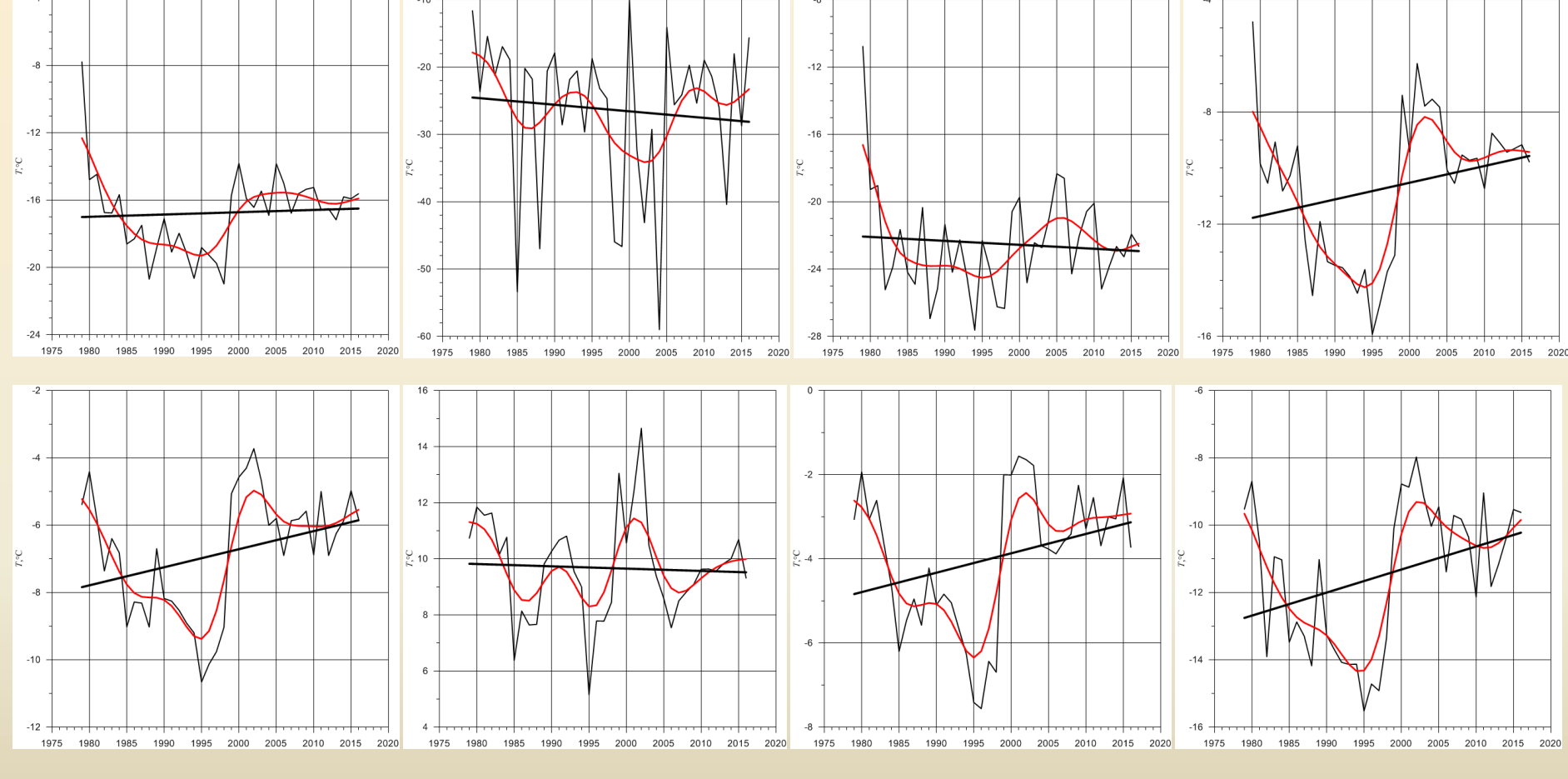
Полярная зона

Умеренная зона

Тропическая зона

Многолетний ход температуры воздуха (°C) на уровне 1 гПа.

Исходный ряд, линейный тренд, НЧК с периодом более 10 лет Январь (вверху), июль (внизу)



Северное полушарие Полярная зона Умеренная зона

Тропическая зона

Многолетний ход температуры воздуха (°C) на уровне 0,1 гПа. Исходный ряд, линейный тренд, НЧК с периодом более 10 лет

Январь (вверху), июль (внизу) 1975 1980 1985 1990 1995 2000 2005 2010 2015 2020 1980 1985 1990 1995 2000 2005 2010 2015 2020

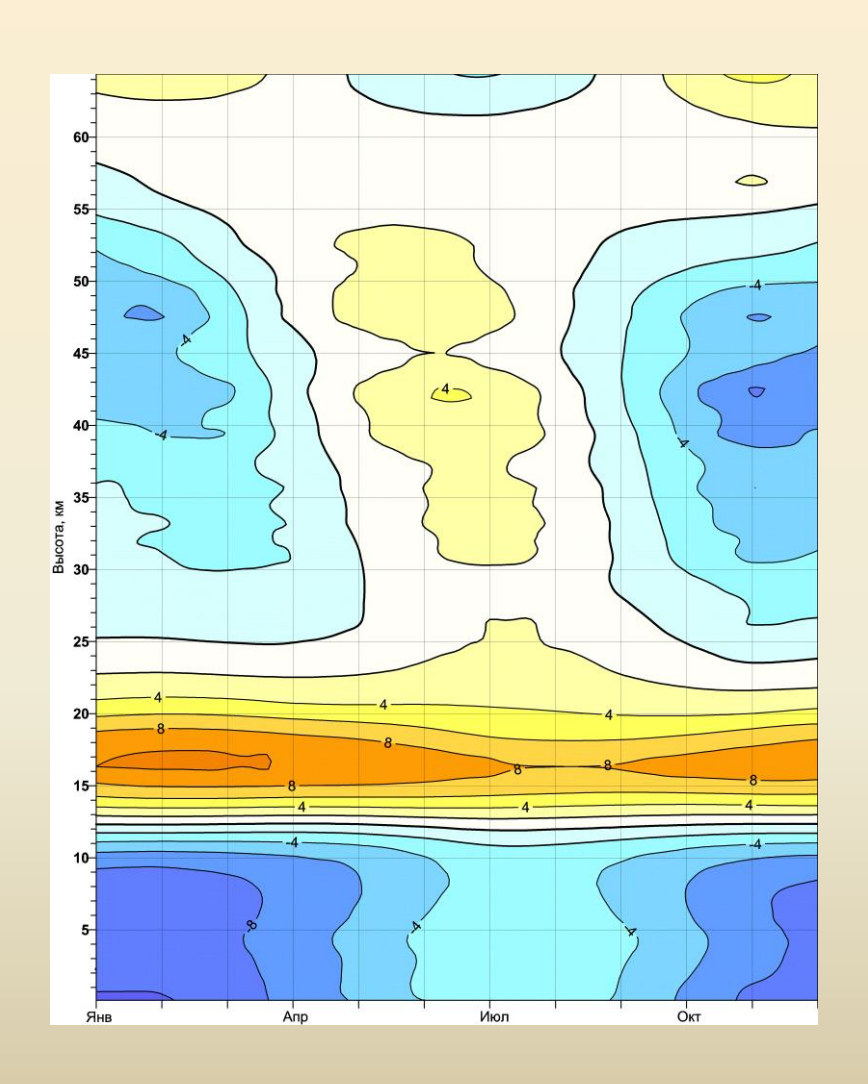
Северное полушарие

Полярная зона

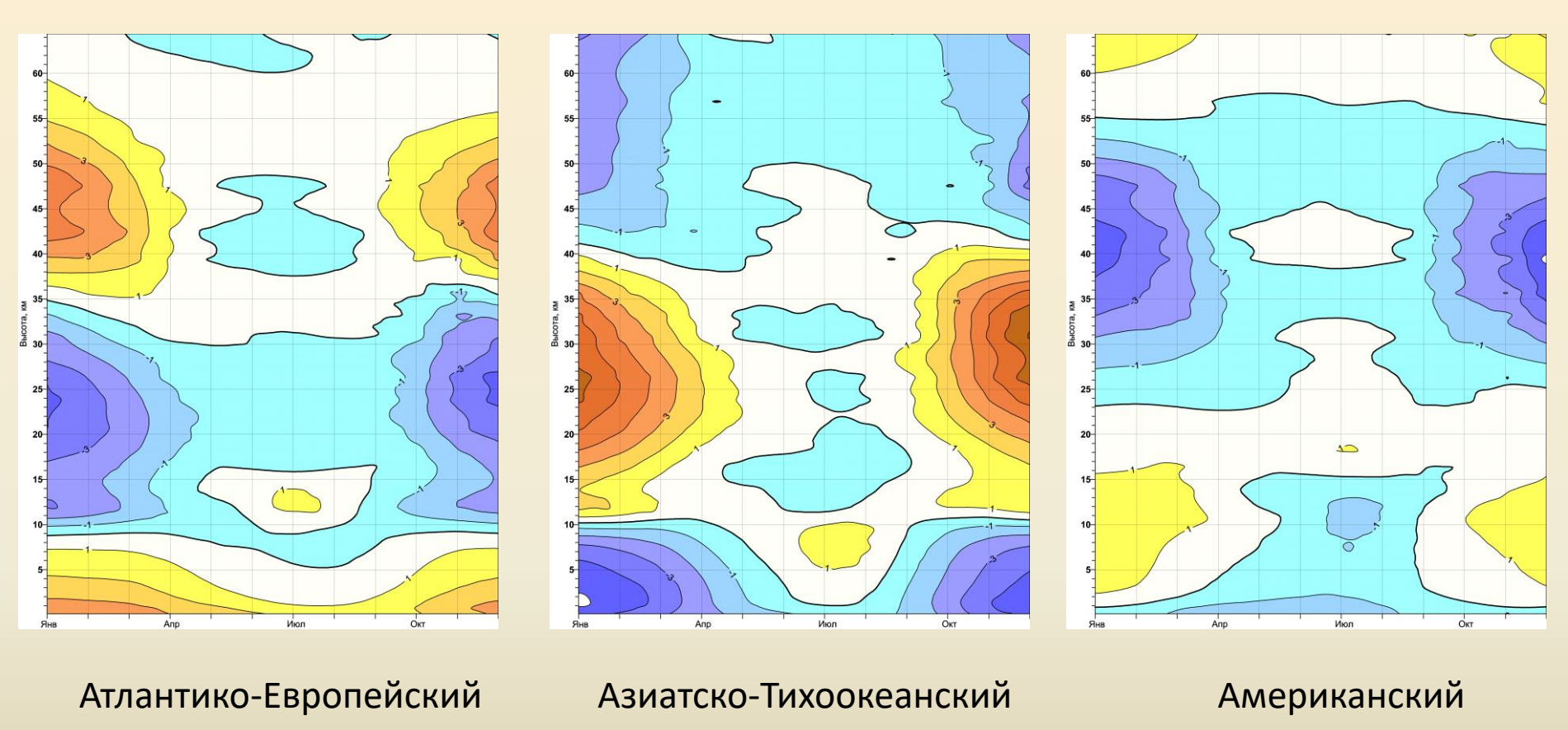
Умеренная зона

Тропическая зона

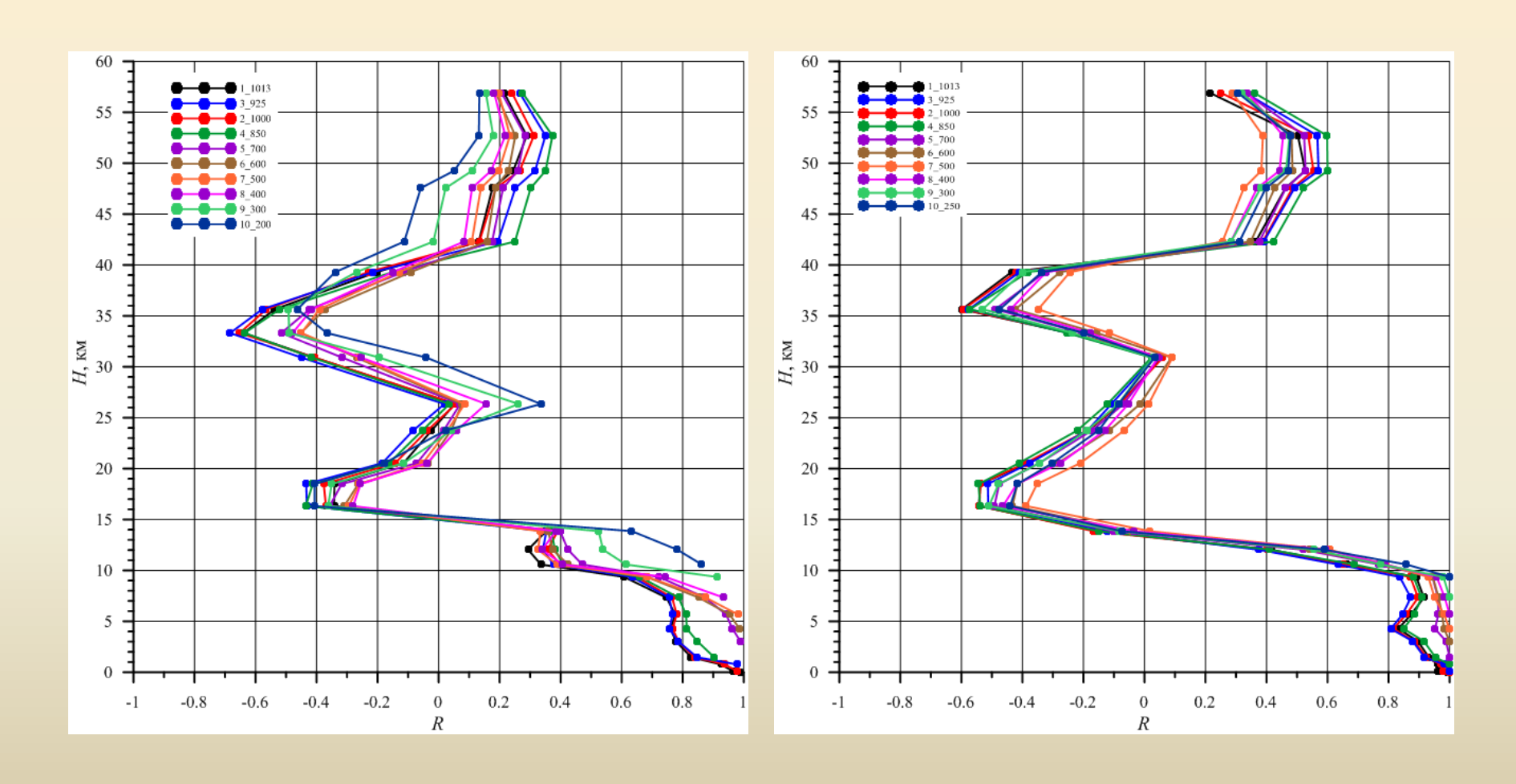
Разности температур воздуха осредненных по территориям Северного полушария и умеренной зоны СП (°C).



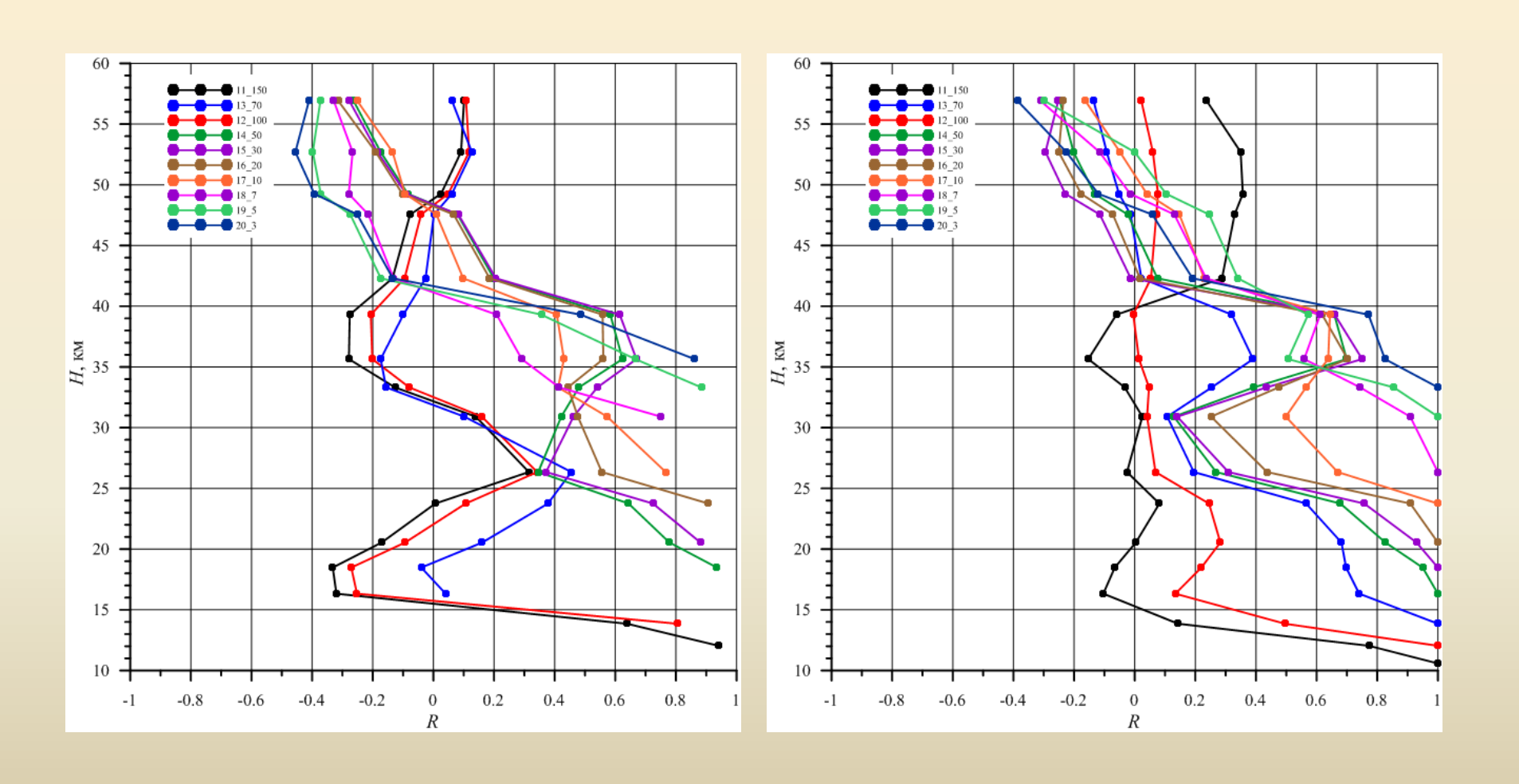
Разности температур воздуха осредненных по территориям Атлантико-Европейского, Азиатско-Тихоокеанского и Американского секторов умеренной зоны (°C).



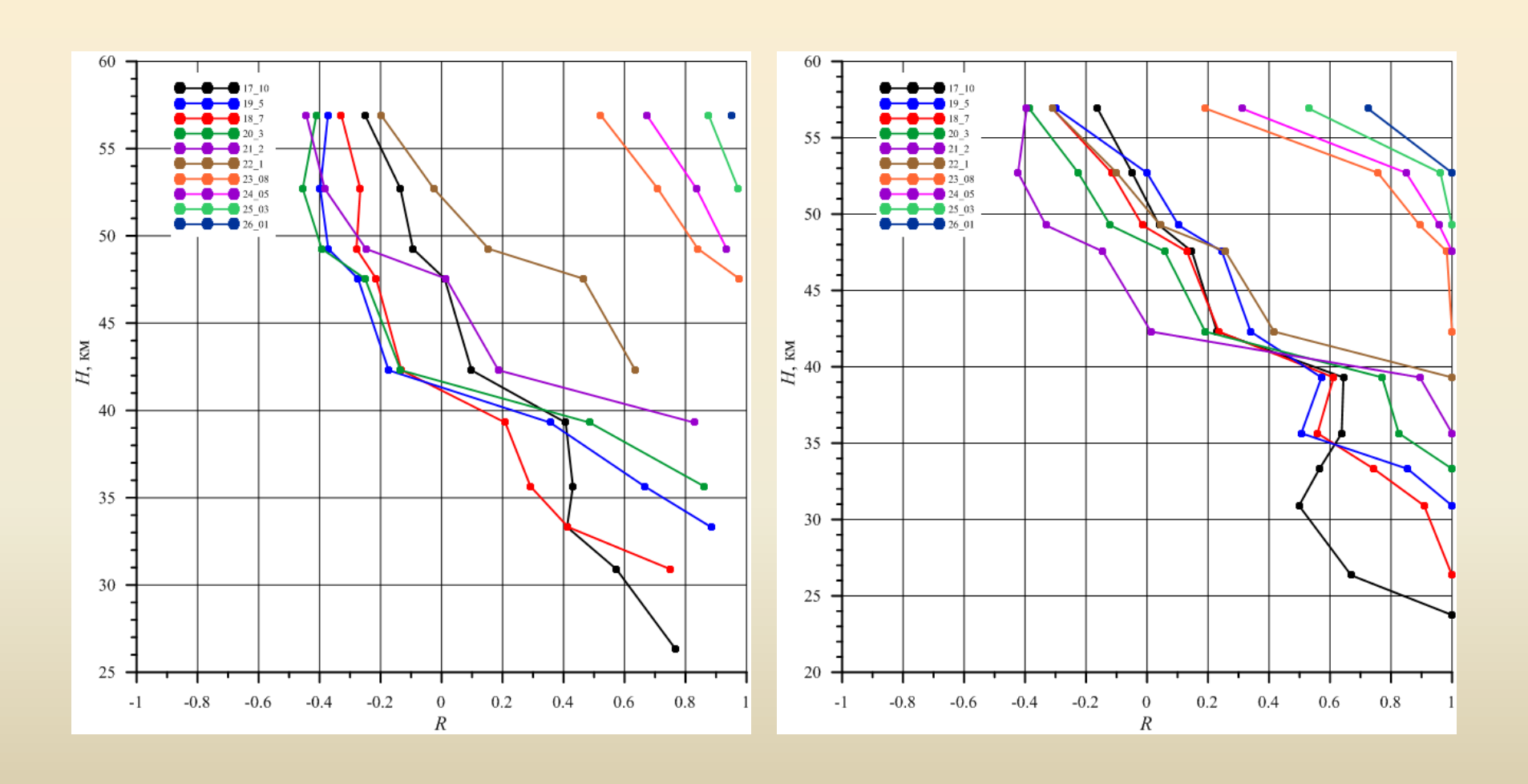
Коэффициенты корреляции температуры воздуха на некотором уровне с температурой воздуха на всех вышележащих уровнях за период (1979-2016 гг.). Северное полушарие. Тропосфера, январь (слева), июль (справа).



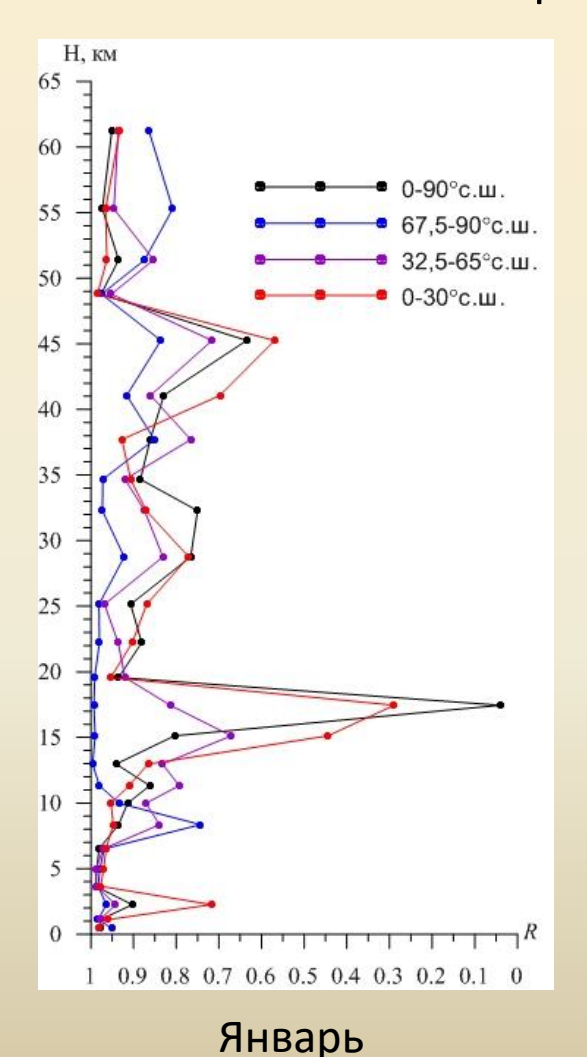
Коэффициенты корреляции температуры воздуха на некотором уровне с температурой воздуха на всех вышележащих уровнях за период (1979-2016 гг.). Северное полушарие. Нижняя стратосфера, январь (слева), июль (справа).

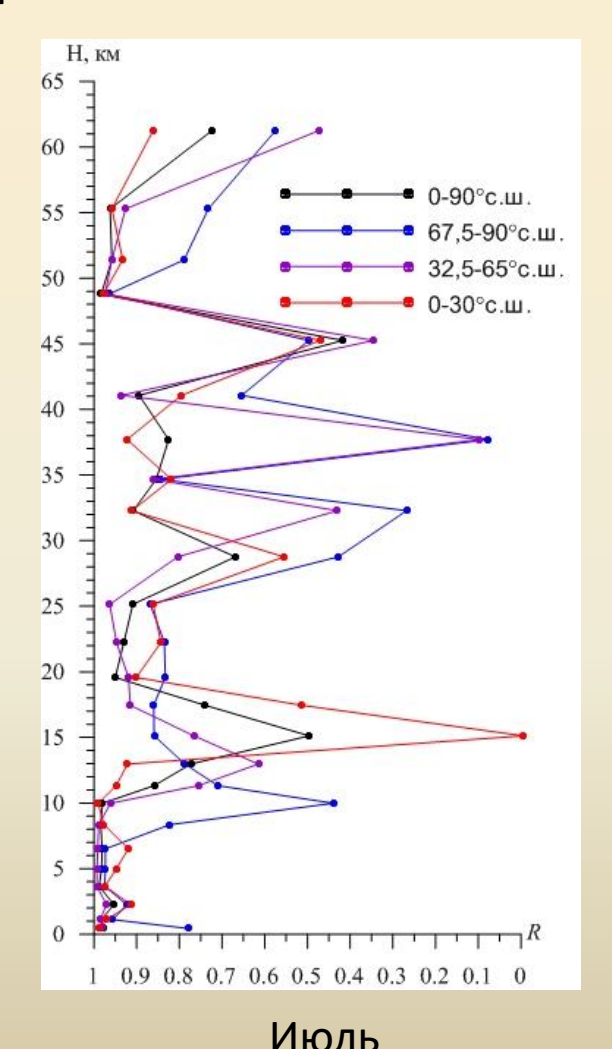


Коэффициенты корреляции температуры воздуха на некотором уровне с температурой воздуха на всех вышележащих уровнях за период (1979-2016 гг.). Северное полушарие. Верхняя стратосфера, январь (слева), июль (справа).

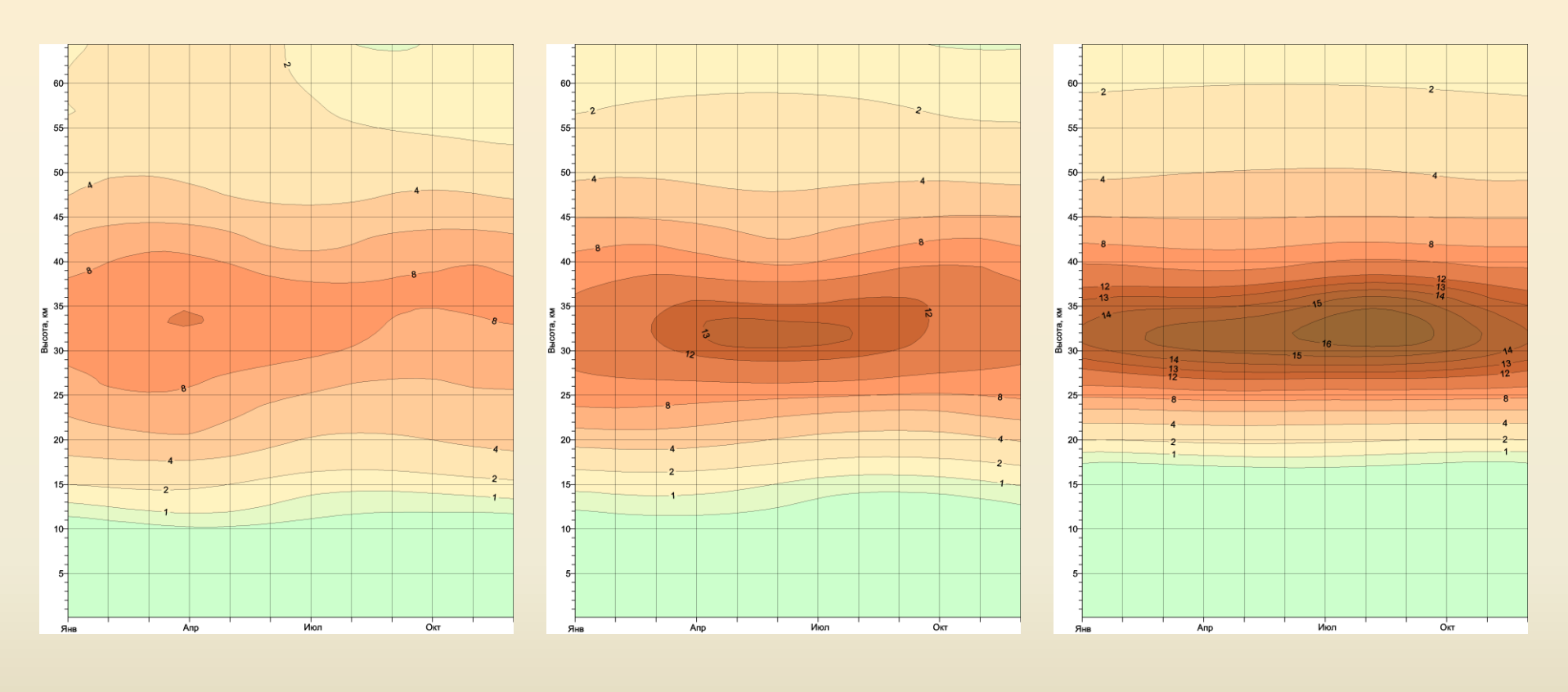


Коэффициенты корреляции временных рядов осредненной по СП (0-90°с.ш.), полярной (65-90°с.ш.) и умеренной (30-65°с.ш.) зонам январской (слева) и июльской (справа) температур воздуха (1979-2016 гг.) на соседних изобарических поверхностях.





Вертикальный разрез среднего за 1979-2016 гг. годового хода отношения смеси (10^{-6}) в слое 0,1-65 км.

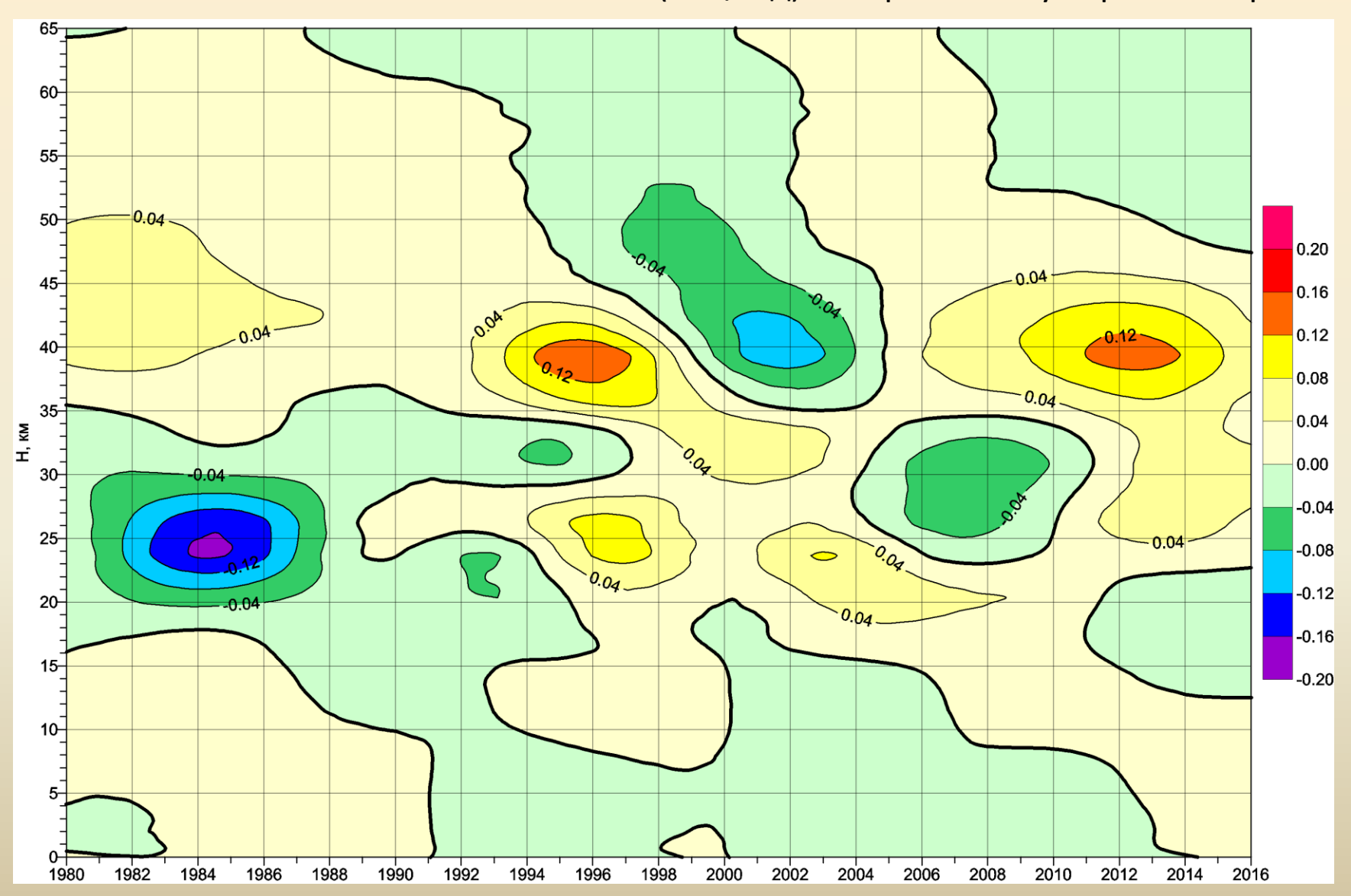


Полярная зона (67,5 – 90° с.ш.)

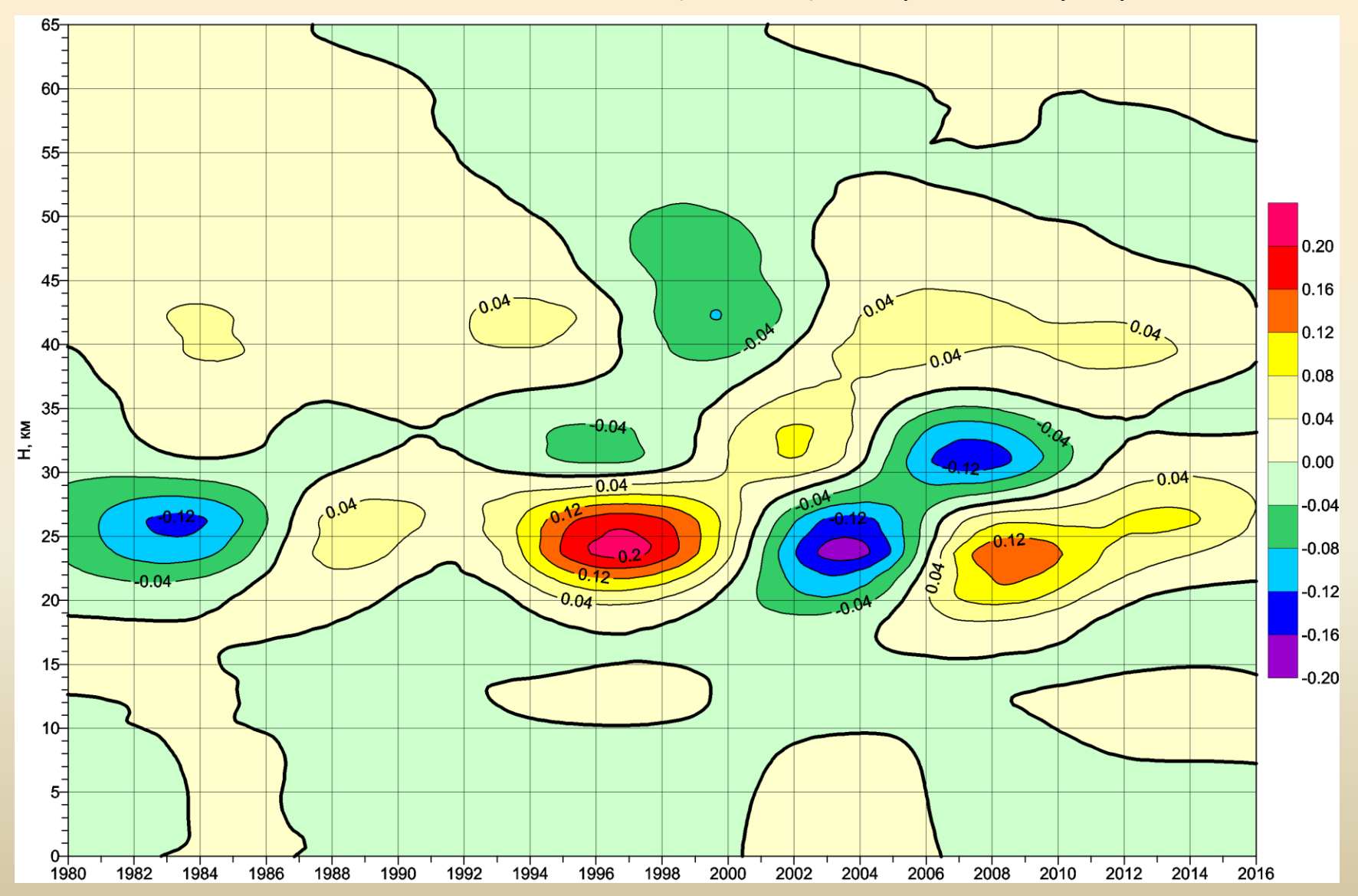
Умеренная зона (32,5 - 65 $^{\circ}$ с.ш.)

Тропическая зона $(0 - 30^{\circ} \text{ с.ш.})$

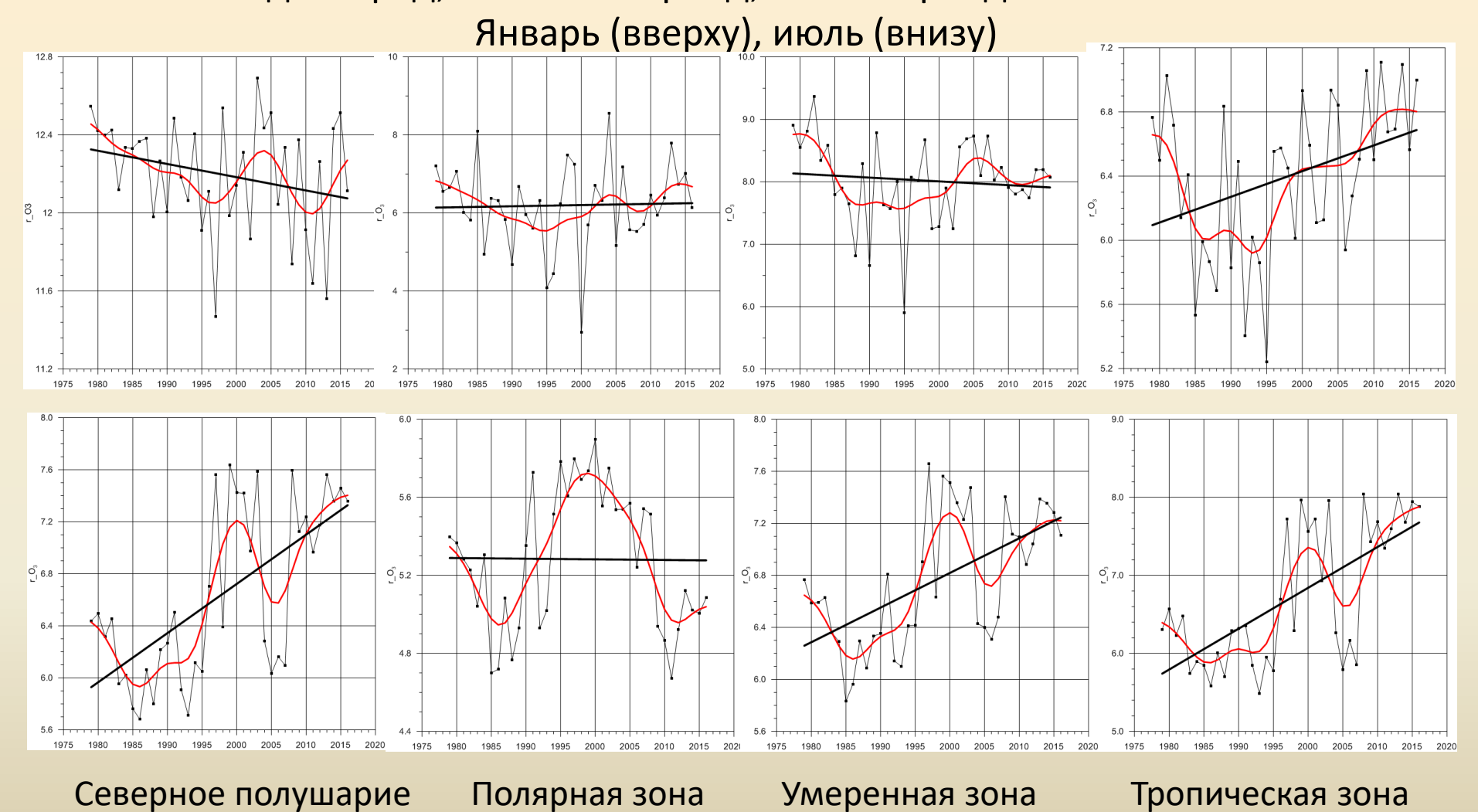
Вертикальный разрез многолетнего хода первых разностей НЧК с периодом более 10 лет отношения смеси озона (10⁻⁶/год) Северного полушария. Январь



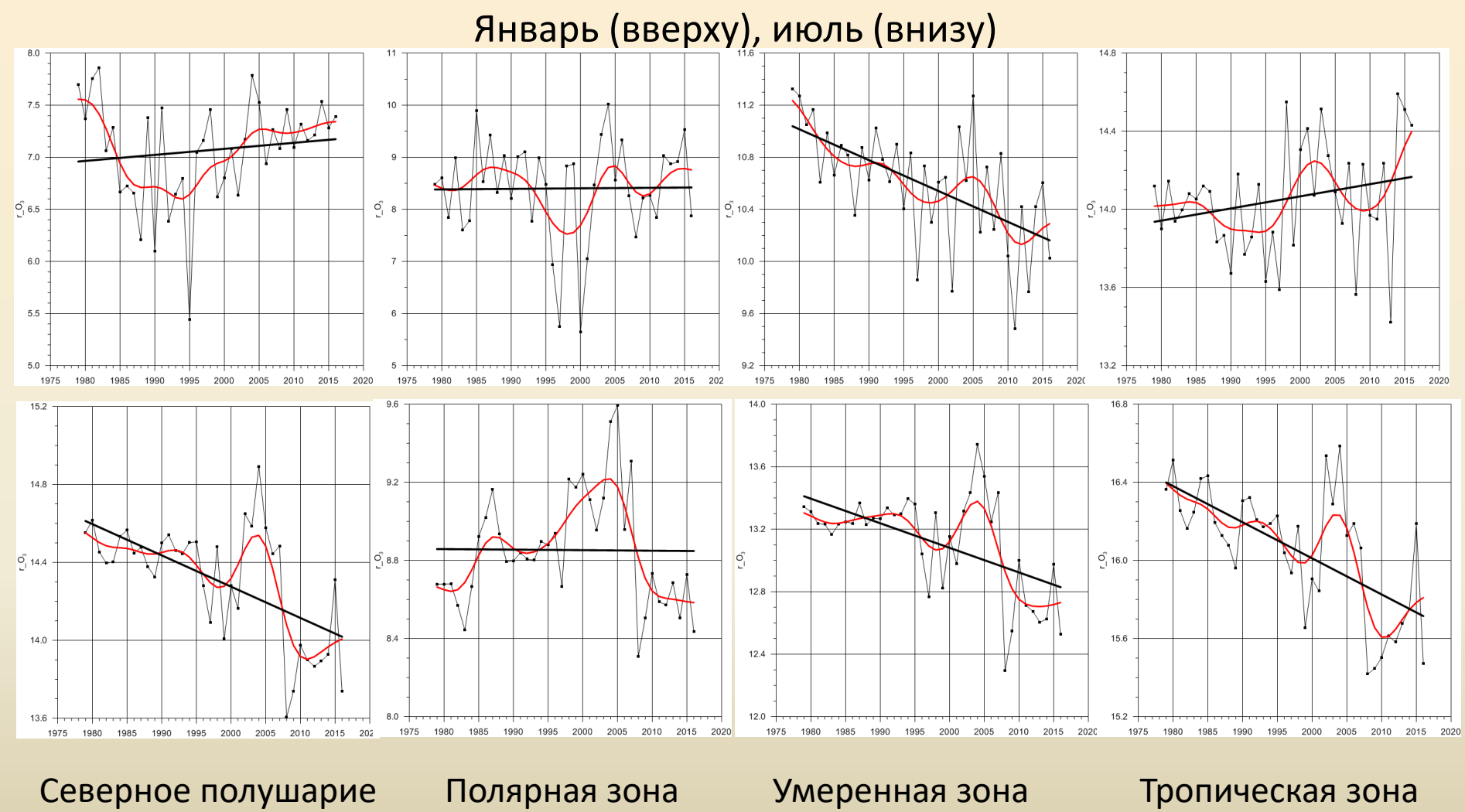
Вертикальный разрез многолетнего хода первых разностей НЧК с периодом более 10 лет отношения смеси озона (10^{-6} /год) Северного полушария. Июль



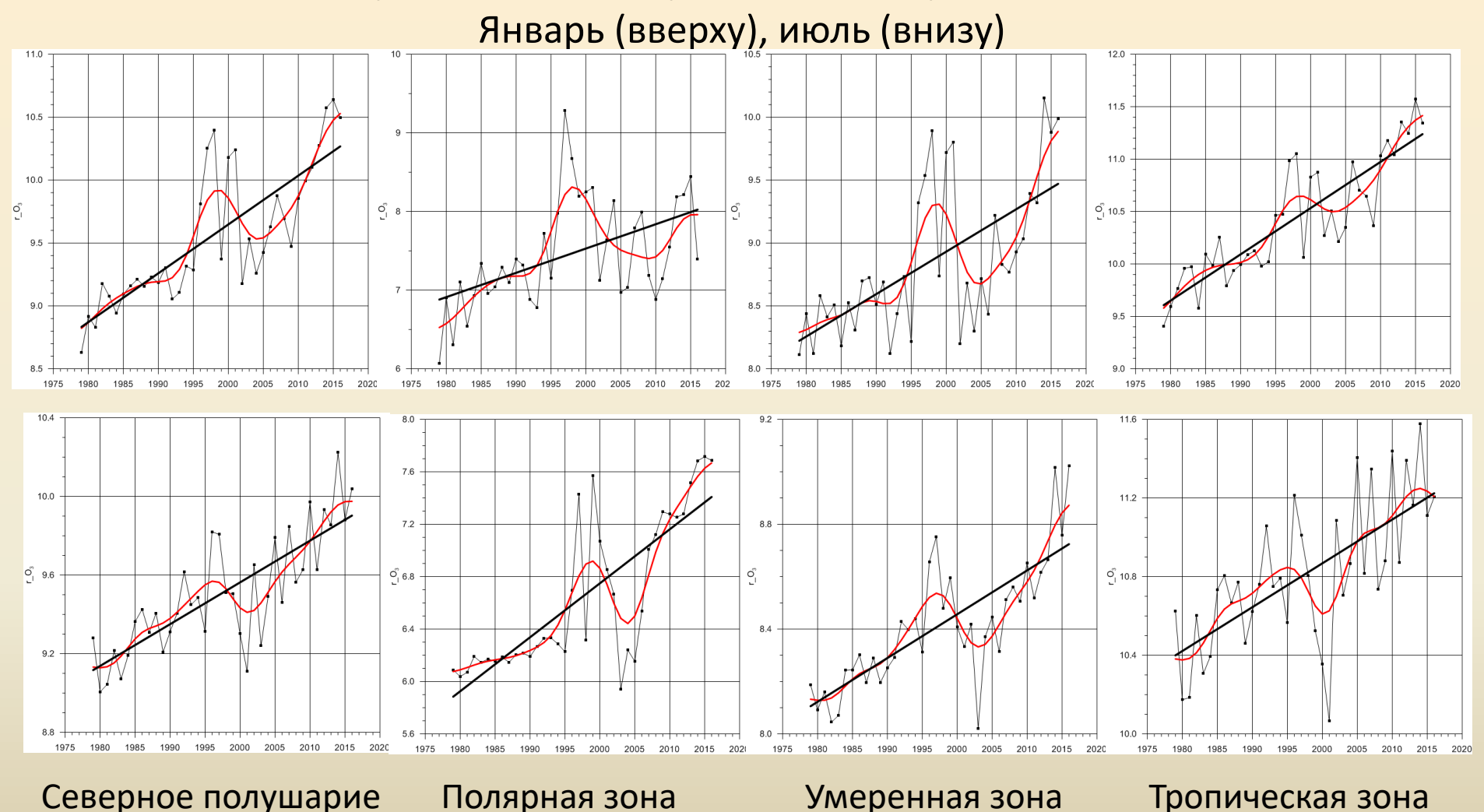
Многолетний ход отношения смеси озона (10⁻⁶/год) на уровне 30 гПа. Исходный ряд, линейный тренд, НЧК с периодом более 10 лет



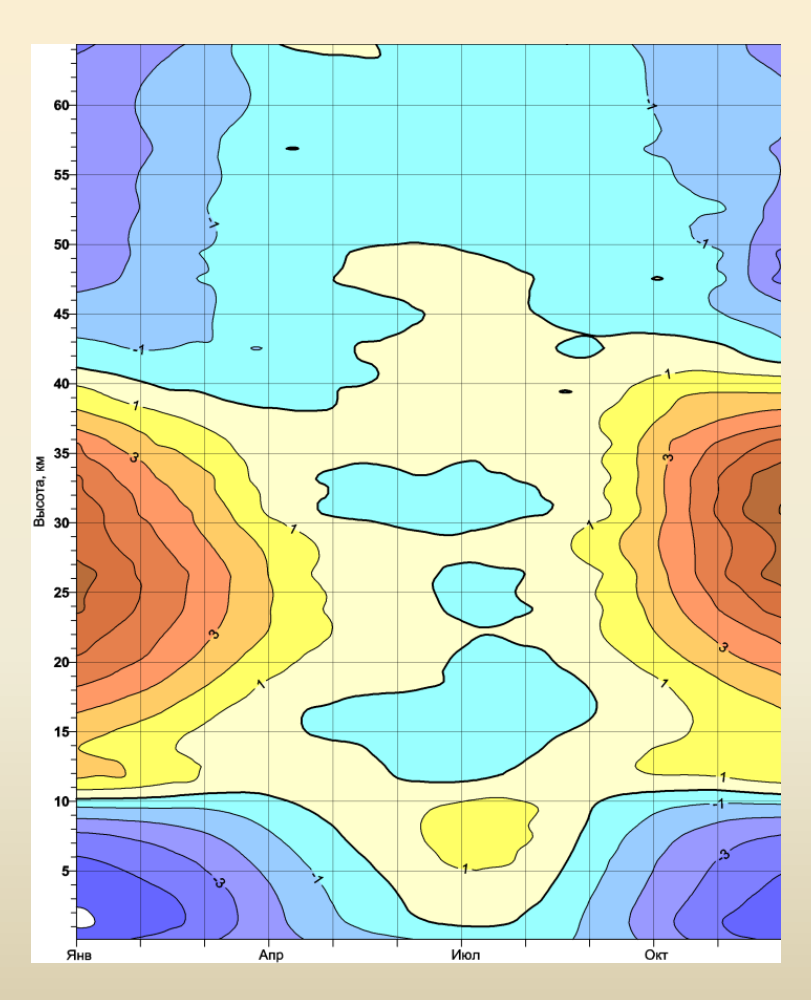
Многолетний ход отношения смеси озона (10⁻⁶/год) на уровне 10 гПа. Исходный ряд, линейный тренд, НЧК с периодом более 10 лет



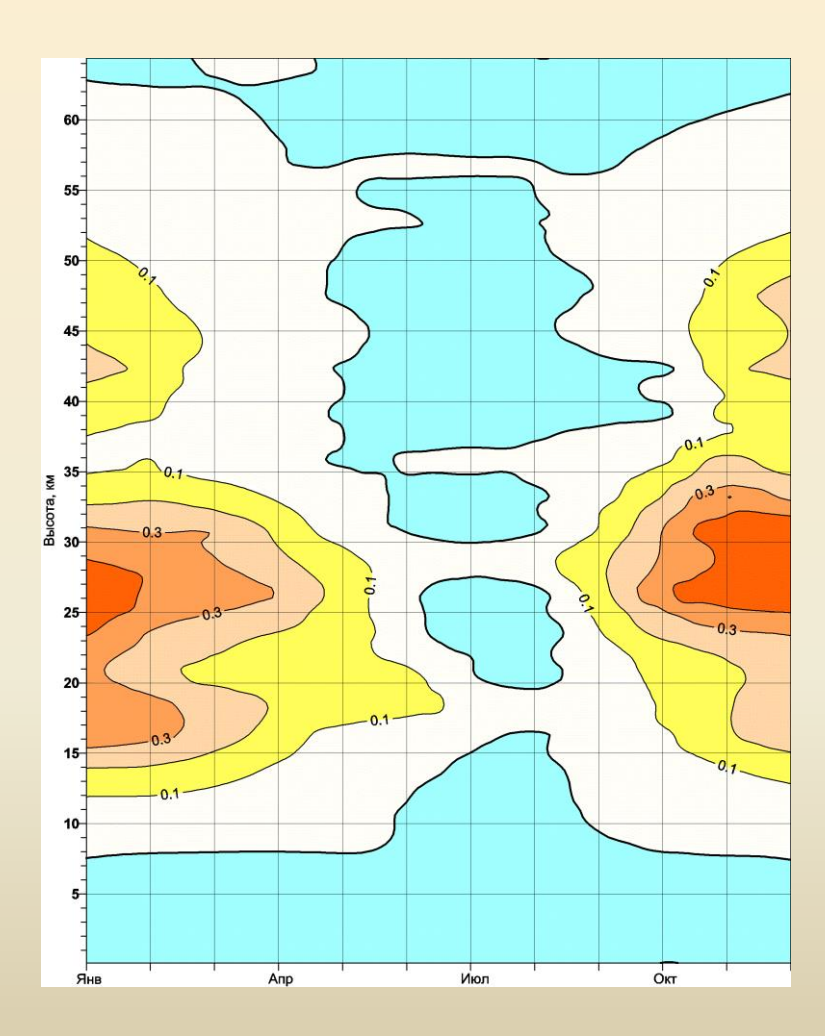
Многолетний ход отношения смеси озона (10⁻⁶/год) на уровне 3 гПа. Исходный ряд, линейный тренд, НЧК с периодом более 10 лет



Разности температуры воздуха и массовой доли озона осредненных по территории Азиатско-Тихоокеанского сектора умеренной зоны СП и по всей умеренной зоне.

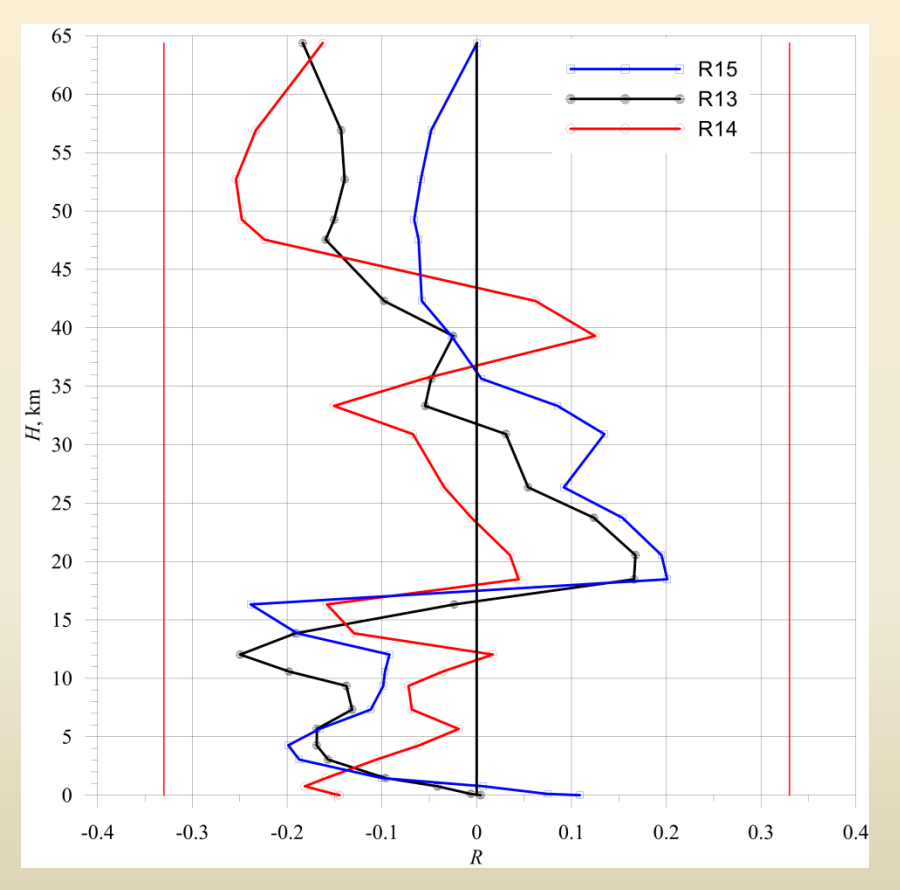


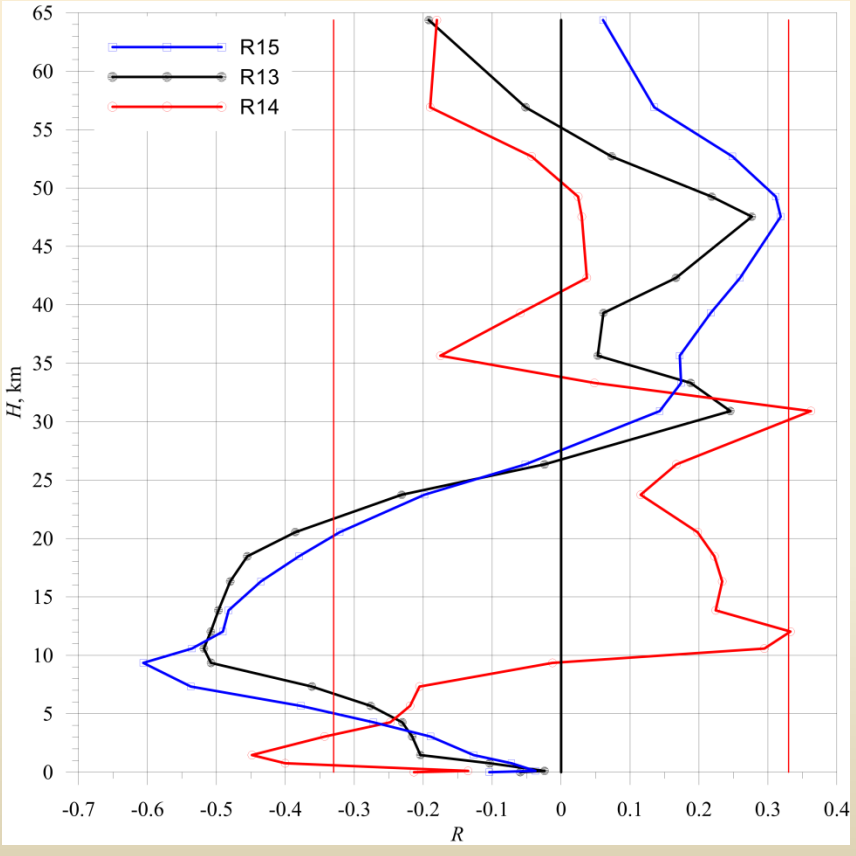
Температура воздуха, °С



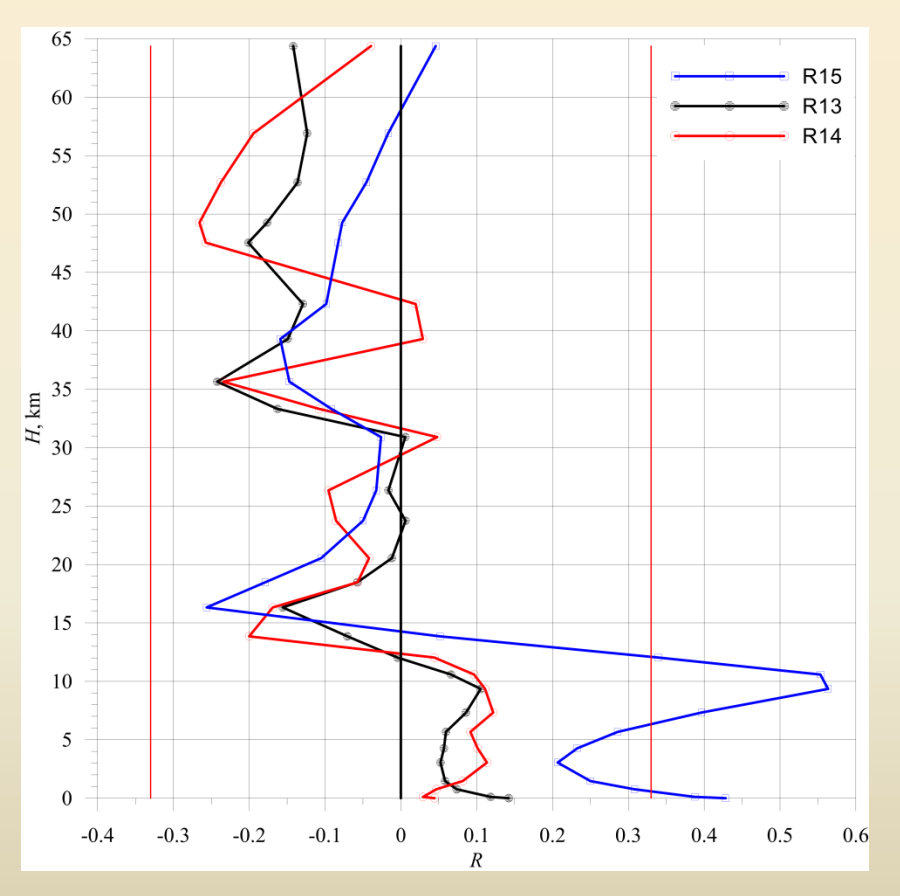
Массовая доля озона, 10⁻⁶

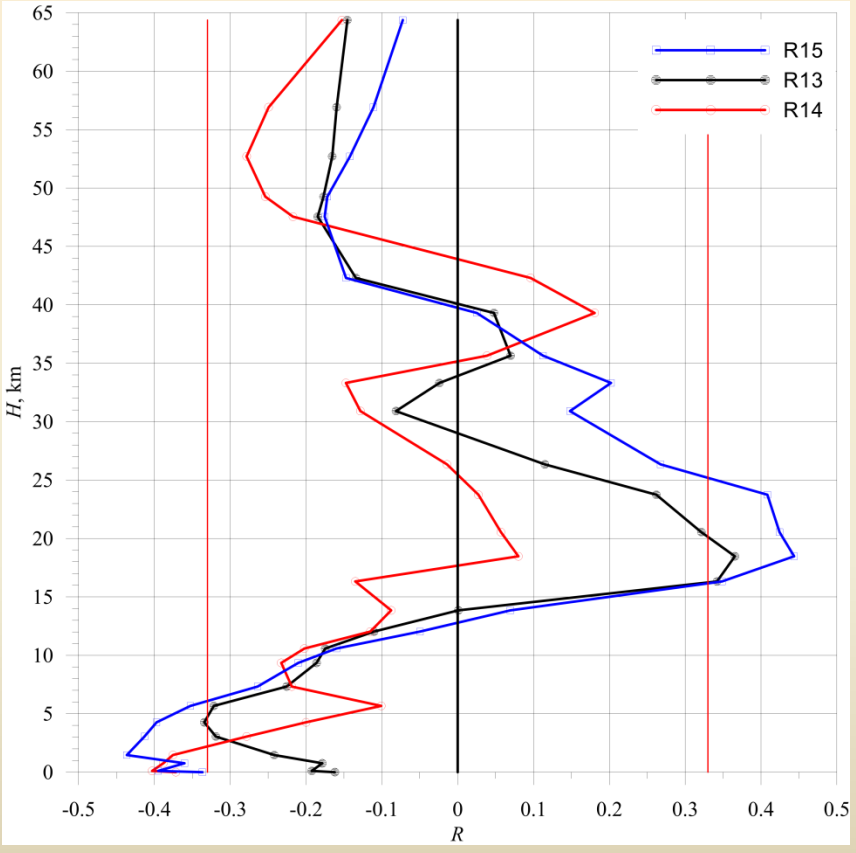
Вертикальные профили значений коэффициента корреляции индекса АО со средней годовой (черная линия), средней летней (красная линия) и средней зимней (синяя линия) температурой воздуха осредненной по территориям Северного полушария (слева) и полярной широтной зоне (справа).



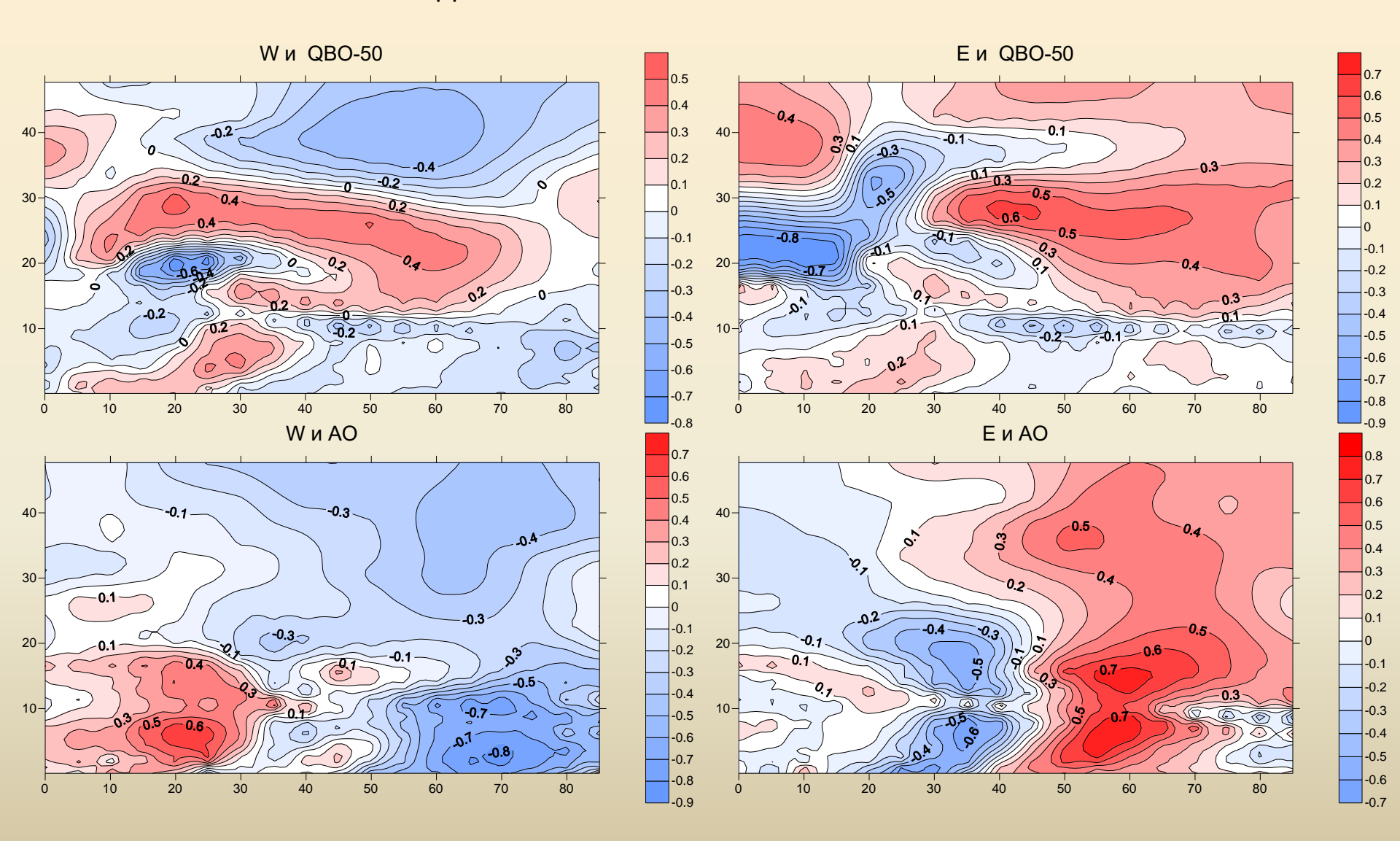


Вертикальные профили значений коэффициента корреляции индекса АО со средней годовой (черная линия), средней летней (красная линия) и средней зимней (синяя линия) температурой воздуха осредненной по территориям умеренной (слева) и тропической (справа) широтным зонам Северного полушария.





Высотно-широтное распределение корреляций интегральных спектров W и E с индексами QBO-50 и AO за 1979-2016 гг.



Выводы

- Выявлено существенное различие между зимой и летом в вертикальном распределении температуры воздуха: так на уровне 12-13 км зимой отмечается наибольшее потепление, а летом, наоборот, заметное похолодание.
- В стратосфере в слое 35-40 км зимой и в слое 35-45 км летом происходит наибольшее охлаждение воздуха.
- Выявлен характер вертикальных корреляционных связей в поле температуры: связи между слоями резко ослабевают в районе тропопаузы как зимой, так и летом.
- В летний период между тропосферой и нижней стратосферой устанавливаются отрицательные связи, свидетельствующие о противофазном характере изменения температуры.

Выводы

- Согласно корреляционного анализа, наибольшее влияние арктическая осцилляция зимой оказывает на приземный слой тропосферы (рост температуры) и слой 7-3 гПа в стратосфере, где температура понижается.
- В верхней стратосфере и нижней мезосфере по результатам анализа первых разностей НЧК с периодом более 10 лет зимой отмечаются очаги роста или понижения температуры с цикличностью 8-10 лет.
- В период положительной фазы АО развитие получают волны Е, усиливается зональная циркуляция и стратосфера становится более холодной.
- При отрицательной фазе АО зональная циркуляция ослабляется, развиваются волны W (и S), которые способствуют переносу волновой энергии в стратосферу и благоприятствуют развитию стратосферных потеплений.